

MECHANICZNA STACJA DOŚWIADCZALNA
POLITECHNIKI LWOWSKIEJ.

PRZEGLĄD MECHANICZNY

DAWNIEJ „MECHANIK”

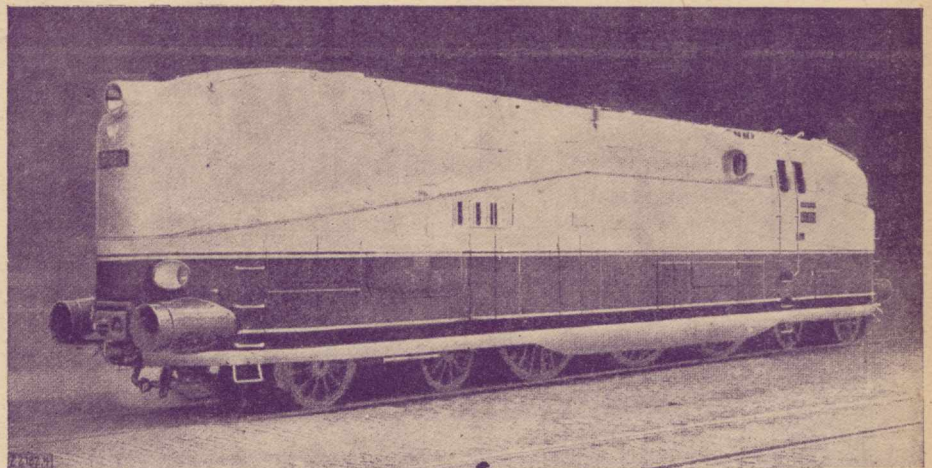
ENERGETYKA

KONSTRUKCJA

OBRÓBKA METALI

METALOZNAWSTWO

ORGAN STOWARZYSZENIA INŻYNIERÓW MECHANIKÓW POLSKICH



Nowy szybkobieżny parowóz kolei niemieckich, który osiągnął szybkość 177 km/h przy obciążeniu 130 t.

ROK 1935

Nr. 15 – 16

SP. AKC. **J. JOHN** W ŁODZI

wyrabia jako specjalność:

PRZEKŁADNIE ZĘBATE I ŚLIMAKOWE

oraz motoreduktory do wbudowania w płaszczyznę silnika z wbudowanym w nie silnikiem.

PĘDNIE KOMPLETNE

i części transmisyjne, koła zębate, naprężacze pasów i t. p. Konstrukcja lekka i solidna, wykonanie wzorowe, minimalne zużycie siły i smarów. Dostawa normalnych części z zapasu.

TOKARKI SZYBKOTNĄCE

konstrukcji nowoczesnej o wysokości kłów 150, 230 i 300 mm i długości toku do 4-ch metrów.

WIERTARKI

słupowe 32 i 40 mm.

GŁADZIARKI

(kalandry) wszelkiego rodzaju dla przemysłu włókienniczego i papierniczego.

KOTŁY ŻELIWNE

radjatory, oraz walce młyńskie, wszelkie odlewy, ruszty ognioodporne, kotły i misy z żeliwa ługo-, kwaso- i ognioodpornego.

BIURA WŁASNE:

WARSZAWA—POZNAŃ—KRAKÓW—LWÓW—GDAŃSK—KATOWICE

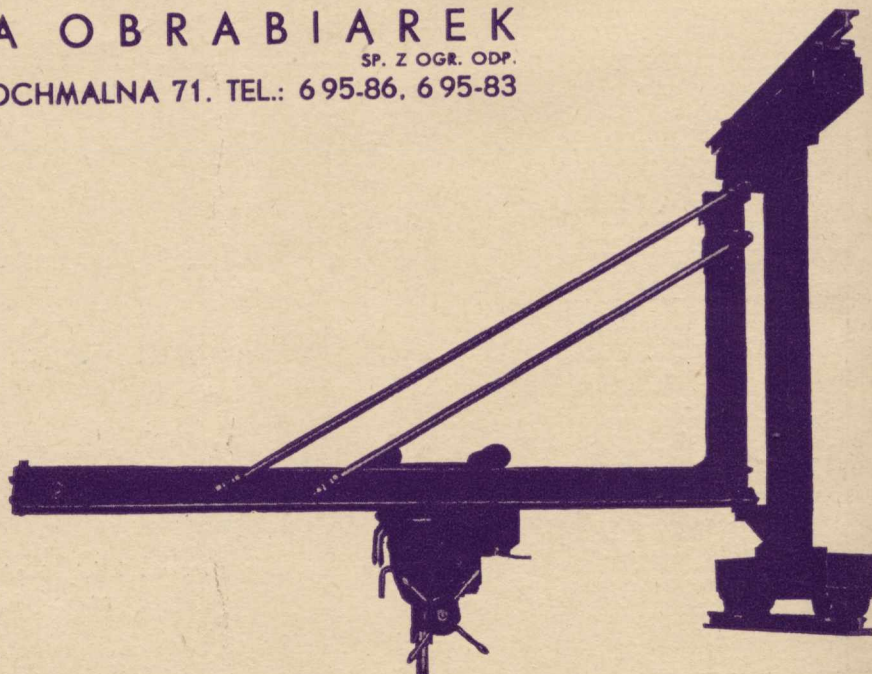
80

„PIONIER” FABRYKA OBRABIAREK

SP. Z OGR. ODP.

WARSZAWA, UL. KROCHMALNA 71. TEL.: 6 95-86, 6 95-83

Serjowa
fabrykacja
precyzyjnych
obrabiaerek
do metali



OFERTY NA ŻĄDANIE

Wiertarka promieniowa.

10

PRZEGLĄD MECHANICZNY

MECHANICZNA STACJA DOŚWIADCZALNA
POLITECHNIKI LWOWSKIEJ.

ORGAN
STOWARZYSZENIA
INŻYNIERÓW
MECHANIKÓW
POLSKICH

Tom I.

WARSZAWA • 10–25 SIERPNIA • 1935 ROKU

Nr. 15–16.

Nowe prądy w zakresie cementacji żelaza azotem^{*)}

Dr. Inż. I. Feszczenko-Czopiński, SIMP

Azotowanie a nawęglanie. — Rozkład twardości w warstwie utwardzonej. — Przyczyny i czynniki utwardzenia. — Kruchłość warstwy naazotowanej. — Wpływ czynników fizycznych na wynik azotowania. — Szkodliwe oddziaływanie wodoru — Przyspieszacz azotacji o działaniu katalitycznym — Inne czynniki przyspieszające ten przebieg.

PROCES azotowania posiada dużo cech wspólnych z procesem nawęglania. Czynnikiem azotującym jest tu azot atomowy, wytwarzający się z amoniaku na skutek dysocjacji tego ostatniego w temperaturze azotowania. Podobnie jak i w procesie nawęglania, tak i w procesie azotowania, obecność w przestrzeni cementującej próbek żelaznych (wzgl. stalowych) przyspiesza rozkład gazowej fazy cementującej. Są jednak i zasadnicze różnice: 1) ulepszanie termiczne jest stosowane do obiektów już nawęglonych powierzchniowo, odwrotnie zaś — przedmioty przeznaczone do azotowania poddaje się uprzednio obróbce termicznej; 2) przebieg nawęglania odbywa się w temperaturach istnienia fazy γ , zaś azotowanie — w temperaturach istnienia fazy σ żelaza. Stąd szybkość nawęglania jest kilkakrotnie większa niż szybkość azotowania, a czas cementacji w tym ostatnim wypadku jest kilkakrotnie dłuższy. Poza to ważną zaletą azotowania jest prawie całkowite uniknięcie objawów paczenia się.

Twardość powierzchniowa miękkiej stali węglistej po nawęgleniu i po zahartowaniu wynosi około 700, max. 920 kg/mm^2 . Twardość stali specjalnych po nawęgleniu i zahartowaniu jest nieco mniejsza. Natomiast twardość tworzywa azotowanego, t. zn. twardość naazotowanej powierzchni węglistej, jest większa (650–900) niż stali miękkiej mało węglistej (około 450–600), a twardość naazotowanej powierzchni niektórych stali specjalnych (naprz. „nitralloy”, czyli stali chromowo-glinowo-molibdenowej o przeciętnym składzie: 0,42% C, 1,4% Al, 1,5% Cr, 0,25% Mo) sięga 1000–1200 kg/mm^2 .

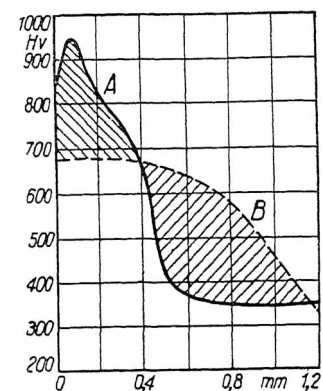
Twardość więc powierzchni naazotowanej może być bardzo wysoka. Przyczyną tak wysokiej twardości jest obecność w naazotowanej strefie bardzo trwałych azotków glinu, które wypadają z roztworu stałego w postaci obcej fazy, w miarę jak zewnętrzna strefa tworzywa azotowanego wzbogaca się w azot.

Rozkład twardości w poszczególnych warstwach naazotowanej strefy stali chromowo-glinowej, azotowanej w ciągu 48-godz. w temperaturze 500°

(krzywa A), w porównaniu z rozkładem twardości w poszczególnych warstwach strefy nawęglonej w ciągu 15 godz. w temperaturze 900° i następnie zahartowanej w wodzie (krzywa B) wskazuje, że bardzo wysoka twardość występuje w warstwie zewnętrznej strefy naazotowanej (rys. 1). Głębiej zachodzi gwałtowny spadek twardości. Natomiast nawęglona strefa posiada mniejsze twardości powierzchniowe, lecz większą głębokość cementacji, mniej raptowne przejście od warstwy bogatej w węgiel, o wysokiej twardości, do warstwy ubogiej w węgiel, o mniejszej twardości. Pole zakreskowe ukośnie w prawo jest to zakres twardości wygranej po azotowaniu, zaś pole zakreskowane ukośnie w lewo jest to zakres twardości, który wygrywamy po nawęgleniu¹⁾.

Rys. 1.

Zmiany twardości od powierzchni włąb próbki: naazotowanej (krzywa A) oraz nawęglonej i zahartowanej (krzywa B).



Jaka jest przyczyna tak gwałtownego spadku twardości w strefie naazotowanej? A. Fry poddał ogrzewaniu azotki Fe, Mn, Ti, Cr, Al i udowodnił, że w temperaturach praktycznego azotowania rozpoczyna się tylko rozkład azotków żelaza, zaś azotki tytanu, chromu, wanału rozkładają się w coraz wyższych temperaturach, natomiast azotki glinu praktycznie są trwałe nawet w temperaturach powyżej 1000°. Gwałtowny więc spadek twardości w zahartowanej strefie tłumaczymy sobie obecnie w sposób następujący: azot, dyfundując w tworzywa typu nitralloy, chciwie łączy się

^{*)} Odczyt wygłoszony na zebraniu odczytowo-dyskusyjnym SIMP dn. 8 kwietnia r. b.

¹⁾ H. W. Quaid i W. Ketcham. Trans. Am. Soc. Steel Treat. 1929, 183/95.

w strefie zewnętrznej z glinem, skutkiem czego wydziela się obca faza AlN , bardzo trwała, nierozpuszczalna w żelazie stałym w temperaturach poniżej 1000° i utrudniająca dalszą dyfuzję azotu. Każdy spadek temperatury azotowania, każde wahanie temperatury w czasie tego zabiegu pociąga za sobą wypadanie azotków. Cząsteczki innego stopnia dyspersji, będąc wyrzucane rytmicznie z roztworu stałego, układają się w postaci pierścieni, podobnych do pierścieni Liesegang'a, wytwarzających się w czasie dyfuzji pewnych substancji w roztworach koloidalnych, zawierających odczynnik reagujący z jonami substancji dyfundującej (rys. 2).



Rys 2 Układanie się w pierścienie cząstek o różnym stopniu dyspersji w warstwie naazotowanej.

Wielu badaczy zwróciło uwagę, że maximum twardości strefy azotowanej znajduje się nie na powierzchni, lecz nieco głębiej. Tak zwane „szczyty twardości” znajdują się tem głębiej pod powierzchnią, im dłużej trwał proces azotowania. Wodór, który jest nieuniknionym składnikiem atmosfery przestrzeni azotującej, odwęglania tworzywo w czasie azotacji, a straty odwęglania wzrastają w miarę zwiększenia temperatury i przedłużenia czasu azotowania. Prawdopodobne więc jest przypuszczenie, że zjawisko „szczytów twardości” zostaje wywołane odwęglaniem powierzchniowym podczas azotowania.

Twardość strefy naazotowanej stali wielostopowych składa się z twardości osnowy, utwardzonej przez znajdujący się w roztworze stałym azot, następnie z twardości wtrąceń azotków o wymiarach mikroskopowych i — co najważniejsze — z twardości uzyskanej przez dyspersję wydzielin azotków o wielkości podmikroskopowej, które zostały wydzielone tak w czasie azotacji, jak i szczególnie w czasie chłodzenia, na skutek zmniejszającej się rozpuszczalności.

Stopień kruchości warstwy naazotowanej zależy od wielu czynników, a mianowicie: 1) natury chemicznej i fizycznej tworzywa azotowanego, 2) wa-

runków i wyników azotowania, 3) warunków chłodzenia po azotowaniu.

Charakter warstwy powierzchniowej i charakter przejścia od niej ku środkowi decydują o stopniu kruchości. Wślad za S a t o h S h u n - i c h i²⁾ przyjęto oceniać stopień kruchości warstwy naazotowanej na podstawie wyglądu odcisku stożka Vickersa. Pęknięcia promieniowe, wzgl. współśrodkowe, świadczą o tem, że naazotowana warstwa jest bardzo krucha, posiada raptowne przejście do jądra i jest słabo spojona z jądrem naazotowanej próbki. Takie pęknięcia powstają w czasie nacisku z trzaskiem i świadczą, że wewnętrzna warstwa naazotowana zawiera dużo fazy ϵ , wzgl. FeN i Fe_3N . Również spostrzeżono, że szybkie stygnięcie po azotacji zwiększa kruchość zewnętrznej warstwy strefy naazotowanej.

Strefa naazotowana posiada z natury rzeczy mniejszą przewodność cieplną, co zwłaszcza w razie raptownego spadku twardości w strefie przejściowej powoduje często łuszczenie się. Każde podniesienie temperatury azotowania przysparza warstwie naazotowanej kruchości. Wobec tego prowadzi się walkę ze zjawiskiem zwiększonej kruchości strefy naazotowanej; więc w celu usunięcia tej kruchości poleca się żarzyć energicznie naazotowany przedmiot w wiórkach żeliwnych w temperaturze około 650° w ciągu 30—60 min. Po takim wyżarzeniu nie tylko zostaje usunięta kruchość warstwy zewnętrznej, lecz i twardość powierzchni obniża się o 5—10%, zależnie od czasu wyżarzania. Lecz najskuteczniejszym środkiem jest utrzymanie temperatury azotowania na niższych poziomach (nie przekraczając 500°), aczkolwiek nieuniknione jest wtedy przedłużenie czasu azotowania.

Twardość naazotowanej powierzchni, w przeciwieństwie do twardości powierzchni nawęglonej (po zahartowaniu), jest niezmienna aż do $500—550^{\circ}$; następnie w zakresie temperatur $500—700^{\circ}$ zachodzi ciągle obniżanie się twardości aż do poziomu twardości stali nawęglonej, która utrzymuje się w przybliżeniu do 800° ; w temperaturach wyższych następuje gwałtowny spadek twardości.

Krótkotrwałe ogrzewanie próbki energicznie naazotowanej powierzchniowo w temperaturze $800—850^{\circ}$, według obserwacji Olgi V e r, tylko w nieznacznym stopniu obniża twardość, natomiast usuwa kruchość.

Wpływy czynników fizycznych na ostateczny wynik azotowania są dobrze znane: im wyższa jest temperatura azotowania, tem grubsza będzie warstwa naazotowana, tem większe zawartości azotu będą znajdować się w warstwie zewnętrznej i tem bardziej ciągle będzie przejście od warstwy naazotowanej do jądra. Czas azotowania i zwiększenie ciśnienia wewnątrz skrzynki azotującej w warunkach wzmożonej szybkości przepływu amoniaku działają w sposób analogiczny. Natomiast w warunkach stałego przepływu gazu zwiększenie ciśnienia wewnątrz skrzynki jest równoznaczne ze wzrostem w niej zawartości wodoru, co jest warunkiem sprzyjającym odwęglaniu i dezazotacji.

Oddziaływanie wodoru na żelazo w warunkach azotacji jest niepożądane. Powstaje więc zagadnienie ważne, lecz dotychczas nierozwiązane — usu-

²⁾ Journ. Iron & Steel Inst. 1932, I, 198

nięcia wodoru z przestrzeni azotującej. Jest to przyczyną niemożności całkowitego zdysocjowania, a zarazem całkowitego wyzyskania amoniaku, przepływającego przez przestrzeń azotującą.

W celu otrzymania bardziej łagodnego przejścia od strefy naazotowanej do jądra, stosowano podwójny cykl azotowania, czyli azotowanie w dwóch odmiennych poziomach temperatur. Naturalną drogą, wiodącą ku temu, zresztą często stosowaną w praktyce przemysłowej, jest długotrwałe azotowanie w temperaturze 500 — 510° i krótkotrwałe (3 — 4 godz.) w temperaturze 620°, a następnie chłodzenie z szybkością 5 — 6°/min.

Niestety, wyniki otrzymywane tą drogą są rozbieżne i niepewne. Próby azotowania „cyklem sinusoidalnym” doprowadziły do ujemnych raczej wyników, ponieważ wyróżniają się w tym wypadku pierścienie Liesegang’a. Natomiast potrójny cykl, obejmujący azotowanie w 510° przez 4 godz., dał wyraźne polepszenie. W ostatecznym wyniku otrzymujemy większą głębokość azotacji, bardziej równomierny rozkład twardości w strefie naazotowanej i mniejszą kruchość warstwy powierzchniowej, a tem samym większą odporność na zgniót i większy stopień wyzyskania amoniaku.

Znany jest fakt, że obecność żelaza azotującego się przyspiesza i potęguje bieg azotacji. Ponieważ proces azotowania przebiega zbyt powoli, więc poszukiwane były „przyspieszacze” azotowania. Zwłaszcza A. B. Kinzel i J. J. Egan³⁾ wypróbowali cały szereg rozmaitych soli, skał płonnych sproszkowanych i proszków metalowych, jako aktywizatorów, wzgl. katalizatorów przestrzeni azotującej. Po pewnym wysiłku wspomniani badacze otrzymali wybitne przyspieszenie azotacji w obecności tlenków magnezu, jak również w obecności sproszkowanych, poprzednio naazotowanych wiórów stalowych. Przy tem okazało się, że aktywizujące działanie naazotowanych stali specjalnych jest dodatnie tylko w tym wypadku, kiedy azotuje się ten sam gatunek stali, co użyty do wyrobu proszku aktywizującego (np. proszek azotowanej stali chromowo-glinowej musi być użyty tylko do azotowania tworzywa chromowo-glinowego), zaś sproszkowany glin aktywizuje azotowanie się stali glinowej.

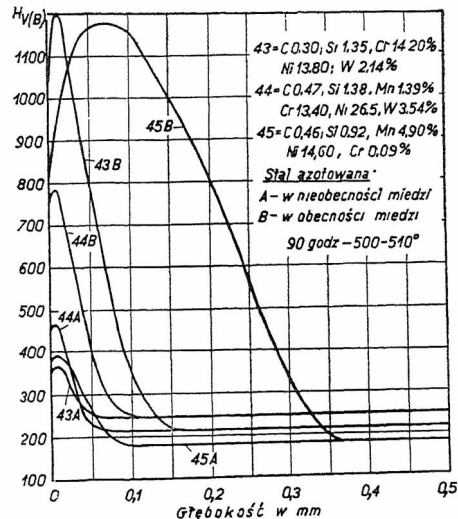
Olga Ver i jej współpracownicy udowodnili, że drogą magnezję z powodzeniem zastępuje prażony w 900° magnezyt w postaci ziarenek o średnicy około 1,5 mm. Katalizator umieszcza się naokoło azotowanej próbki, lecz może on znajdować się też w pewnym oddaleniu. W tym ostatnim wypadku twardość powierzchniowa jest nieco mniejsza. Przyspieszenie biegu azotowania w obecności sproszkowanego magnezytu jest trzykrotne: próbka azotowana w obecności katalizatora w ciągu 8-miu godz. wykazała ten sam wynik cementacji, jak po zwykłym azotowaniu w ciągu 24 godzin.

Katalityczne działanie magnezytu polega prawdopodobnie nie na bezpośrednim przenoszeniu azotu, od amoniaku do azotowanej próbki, lecz raczej na zwiększeniu ilości aktywnego azotu w atmosferze azotującej.

Postępy więc azotowania idą obecnie zarówno w kierunku skrócenia jego czasu, a tem samym obniżenia kosztów, jak i w kierunku zwiększenia

spójności warstwy naazotowanej z jądrem próbki i obniżenia jej kruchości, wzgl. łupliwości.

B. Jones w r. 1933⁴⁾ wypróbował azotowanie stali austenitycznych trudno azotujących się, wypełniając przestrzeń azotującą wiórami, i otrzymał bardzo twardą powierzchnię naazotowaną (rys. 3).



Rys. 3. Kształtowanie się twardości warstwy naazotowanej przy użyciu aktywizatora (miedź) i bez aktywizacji.

W. Leistmann⁴⁾ spostrzegł, że stopień dysocjacji amoniaku znacznie obniża się w obecności krzemionki, straconej zapomocą soli kobaltu, wzgl. niklu (żel); podobnie działa obecność CaCl₂. Taki katalizator ujemny (raczej hamulec) może być korzystny w pewnych wypadkach technologicznych, kiedy powstaje konieczność osłabienia biegu naazotowania, wzgl. zmniejszenia cząstkowego ciśnienia wodoru wewnątrz przestrzeni azotującej.

W. Leistmann spostrzegł, że gdy zmniejsza się reakcyjna zdolność powierzchni przedmiotów ulegających azotowaniu, to zawsze obniża się jednocześnie zdolność rozpuszczania azotu w żelazie, utrudnia się dyfuzja, a proces cementacji nabiera charakteru wybitnie reakcyjnego, co wnosi ze sobą do strefy naazotowanej podwyższoną kruchość.

F. Krupp stosuje z powodzeniem w celu aktywizacji atmosfery azotującej dodatek chlorku amonowego. J. J. Egan poleca domieszki substancji organicznych zawierających azot i wspomina o dodatnim wpływie promieni nadfioletowych i łuku elektrycznego.

E. G. Herbert w r. 1929 udowodnił, że prądy zmienne, wzgl. pole magnetyczne, wytworzone w przestrzeni azotującej, działają przyspieszająco na przebieg azotowania przedmiotów stalowych. O. Mayer, W. Eilender i W. Schmidt⁴⁾ w r. 1932, obserwując przebieg azotowania żelaza i stali chromowo-niklowo-glinowej w oporowym piecu elektrycznym i w piecu indukcyjnym, spostrzegli, że próbki azotowane w piecu indukcyjnym wysokiej częstotliwości posiadają większą głębokość azotacji, większą twardość powierzchniową i lepszy rozkład twardości w poszczególnych warstwach strefy naazotowanej. Natomiast dla tworzyw glinowych, nie zawierających niklu, żadnego polepszenia na skutek azotacji w piecu wysokiej częstotliwości nie spostrzeżono.

³⁾ Trans. Am. Soc. Steel Treat. 1929, X, 145/74.

⁴⁾ Metal Progress 1930, IV, 46/7.

Według patentu Kruppa (1934 r.) amoniak, wprowadzany do przestrzeni azotującej, jest dla ułatwienia stykania się gazu z powierzchnią azotującą wprawiany w ruch zapomocą śmigła, umieszczonego wewnątrz skrzyni, wzgl. pompy lub wentylatora, znajdujących się poza skrzynią. Bieg azotowania w tym wypadku zostaje wybitnie przyspieszony.

Nouvelles tendances dans la nitruration de l'acier

R é s u m é :

Après avoir rappelé la difference entre la cémentation de l'acier et la nitruration, l'auteur mon-

tre la répartition de la dureté dans la couche superficielle de l'objet nitruré, ainsi qu'analyse les causes et les facteurs du durcissement. Il examine ensuite le phénomène de la fragilité de la couche nitrurée et rappelle l'influence de divers facteurs physiques sur le résultat de la nitruration. Il souligne aussi l'effet négatif de l'hydrogène sur le fer au cours de la nitruration.

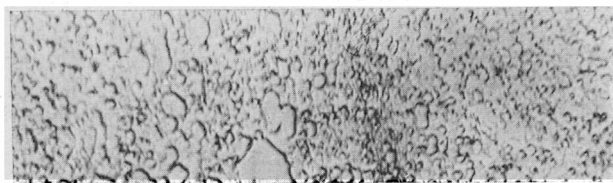
Ayant mentionné les méthodes de la nitruration aux plusieurs cycles, l'auteur passe aux moyens d'activation du procès de la nitruration. Il cite les résultats de nombreux essais (de Kinzel et Egan, Olga Ver, Jones, Leistmann et d'autres) sur divers activateurs, ainsi que les observations de Herbert, Mayer, Eilender et Schmidt relatives à l'action accélérative d'autres facteurs sur le procès de la nitruration.

Przyczynę do badań azotowania stali specjalnych*)

Inż. metalurg **K. Kornfeld, SI M**

Opis wykonanych prób azotowania austenitycznej stali manganowej i stali szybko tnącej. — Wyniki azotowania: twardość i grubość warstwy azotowanej w temp. 530° w ciągu 2 1/2 oraz 24 godzin. — Wyniki równoczesnego azotowania i nawęglania gazem świetlnym. — Analiza mikrograficzna. — Wnioski.

CELEM zbadania zachowania się karbidków podwójnych i austenitu podczas azotacji, poddano kilku próbom stal austenityczną manganową i stal szybko tnącą. Stal manganowa, którą w dalszym ciągu nazywać będziemy stalą *M*,

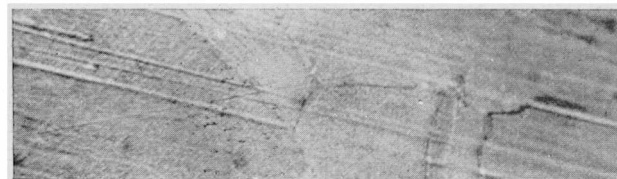


Pow. 1000×. Rys. 1. Traw. HNO₃.

posiadała budowę, złożoną z czystego drobnego austenitu, który uwidoczniła rys. 1. Stal szybko tnąca *N*, użyta do badań, było dobrze przekuta, bez budowy wyraźnie pasmowej, wyżarzono ją zupełnie, otrzymując budowę, podaną na rys. 2. Mikrografije wykonano w silnym powiększeniu, celem umożliwienia tem lepszego porównania ze szczegółami budowy po azotacji. Skład chemiczny i twardość stali podano w zestawieniu poniżej:

Znak	%C	%Mn	%Si	%Cr	%W	%P	%S
<i>M</i> . .	0.78	12.74	0.28	—	—	0.02	0.006
<i>N</i> . .	0.78	0.41	—	5.47	18.10	0.01	0.012

Znak	Twardość w kg/mm ²		
	<i>B</i> ₇₅₀ **)	<i>V</i> ₁₀ **)	<i>V</i> ₅₀ **)
<i>M</i>	229	392	280
<i>N</i>	218	258	242



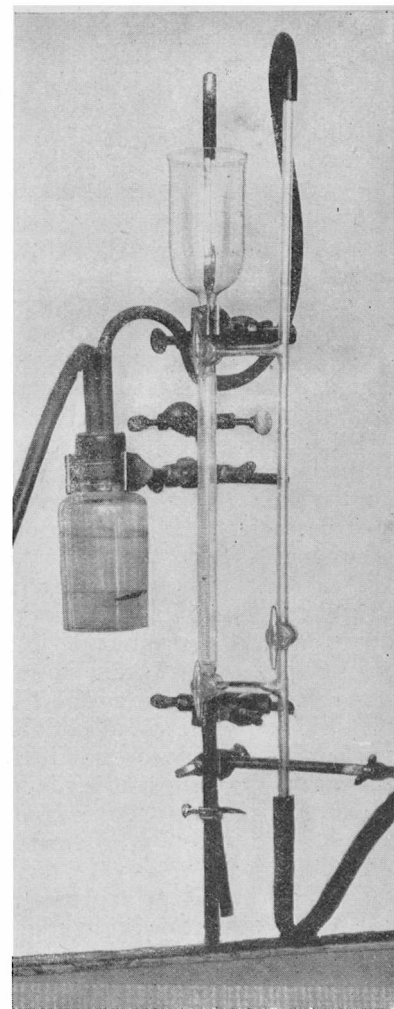
Pow. 1000×. Rys. 2. Traw. HNO₃.

*) Koreferat, ogłoszony po referacie Prof. Dra Inż. Fezszchenko-Czopińskiego na zebraniu odczytowem SIMP w dn. 8.IV.1935 r.

***) *B*₇₅₀ — wg. Brinell'a kulka \varnothing 5 mm, obciążenie 750 kg, *V*₁₀ — wg. Vickersa, obciążenie 10 kg; *V*₅₀ — wg. Vickersa, obciążenie 50 kg.

Próbki, użyte do badań, były gładko szlifowane na kształt graniastosłupów 10 × 15 × 20 mm. Szlifowanie nie odbyło się zupełnie na zimno, o czym świadczy podniesienie się twardości powierzchni (*V*₁₀ > *V*₅₀) stali *M*. Mikrograficznie na przekroju nie można było stwierdzić zmian budowy powierzchni próbek, zaś zmiana, jaka dała się zaobserwować przez badanie twardości, musiałaby wywołać efekt wprost przeciwny¹⁾, niż obserwowane zmiany budowy po azotacji.

Badane stale umieszczano w elektrycznym piecu oporowym 2 lub 3-fazowym z regulacją ręczną opornikiem. Temperaturę rejestrowano co 10 minut, celem stwierdzenia odstępstw od temperatury, założonej jako średnia. Środkiem azotującym był amoniak o 98,5% NH₃, dostarczony z gazowni, sprężony w butli. Amoniak przechodził przed wejściem do komory roboczej pieca przez spiralę, umieszczoną wokół pieca wewnątrz otuliny. W zakresie temperatury pieca 490 — 560° ogrzewał się amoniak do 250 — 320° C przed wejściem do prze-



Rys. 3. Biureta dysocjacyjna dla NH₃.

1) K. Kornfeld, Hutnik 1933, zeszyt 7 — 12.

strzeni roboczej pieca. Rozkład amonjaku badano co 15 minut, przyczem wykonywano bezpośrednio po sobie 3 pomiary, korzystając z biurety dysocjacyjnej własnej konstrukcji, którą ilustruje rys. 3. Dzięki przepływowi gazów z pieca przez biuretę, którą wyłączano z drogi gazów tylko na moment połączenia ze zbiornikiem wodnym, można było wykonywać pewne co do odczytu pomiary w odstępach półtoraminutowych.

Wstępne próby przeprowadzono w temperaturze 530°C w ciągu 2½ godzin. Wahania temperatury wynosiły do ± 15°C, jednak ani minimalna ani maksymalna temperatura nie panowała w piecu dłużej niż 2 — 5 minut.

Piec doprowadzono do temperatury azotacji przez 2½ godziny po zupełnym nasyceniu pieca amonjakiem i pod stałym jego dopływem, ochłodzenie trwało 5 godzin, przyczem amonjak wyłączono dopiero, gdy piec osiągnął temperaturę 40°C.

Dysocjację amonjaku utrzymywano na poziomie 75% rozłożonego amonjaku, przyczem chwilowe wahania wynosiły od 70% do 90% rozkładu NH₃. Wyniki azotowania były o tyle ciekawe, że w ciągu tak krótkiego czasu otrzymano na stali *N* warstwę naazotowaną o grubości 0,14 mm, a na stali *M* — o grubości 0,04 mm, to znaczy grubość warstwy tak samo dużą, jak i na azotowanej równocześnie dla porównania stali (*A*) o składzie chemicznym 0,48% C; 2,12% Al; 1,69% Cr i 0,23% Mo.

Badanie twardości wykazało w kg/mm²:

Stal	$B_{5/750}$	V_{50}	V_{10}
<i>A</i>	293 = $V_{50} \approx 330$	516	782
<i>N</i>	255 = $V_{50} \approx 280$	568	762
<i>M</i>	229 = $V_{50} \approx 260$	392	493

Jak z powyższych wyników widać, efekt utwardzający jest b. znaczny.

Następną próbą było poddanie analogicznych próbek azotowaniu w tych samych warunkach, jednak przez 24 godziny. Próbę tę powtórzono 3-krotnie, uzyskując zawsze jednakowe wyniki. Warstwa naazotowana w stali *N* wzrastała do 0,22 mm, zaś w stali *M* do 0,15, przyczem pomiędzy warstwą wyraźnie zmienioną a wewnętrznym materiałem wytwarzała się warstwa przejściowa o grubości 0,25 mm.

Równocześnie z pogrubieniem warstwy naazotowanej zmniejszyła się powierzchniowa twardość stali *M*, wzrosła jednak twardość stali *N*. Oto wyniki badań:

Stal	$B_{5/750}$	V_{50}	V_{10}
<i>N</i>	285, 293	483, 395	828, 865, 920
<i>M</i>	265, 255, 245	288	421, 510

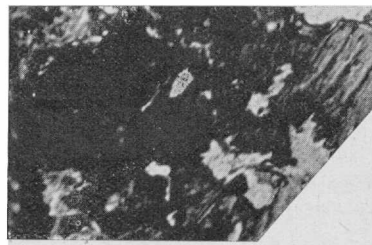
Ponieważ badania mikroskopowe wykazały, że azotowanie wpływa na zmianę formy występowania węgla w stali, poddano badane stale ogrzewaniu pod przepływem amonjaku i gazu świetlnego równocześnie. Stosunek obu gazów obrano 1:1, próby przeprowadzono w temperaturze ok. 500°C w ciągu 24 godzin.

3-krotne powtórzenie prób wykazało, że obecność węglowodorów i tlenków węgla nie wpływa wyraźnie na grubość warstwy nacementowanej, natomiast wpływa wyraźnie na twardość, i to w ten sposób, że twardość powierzchniowa stali manganowej zwiększa się w porównaniu z azotowaniem czystym amonjakiem, natomiast stal do

azotowania i stal szybko tnąca tracą na twardości na skutek obecności węglowodorów i tlenków węgla podczas azotowania.

Stal	$B_{5/750}$	V_{50}	V_{10}
		w kg/mm ²	
<i>M</i>	363	511	673
<i>N</i>	285	483	518
<i>A</i>	255	454	536

Poniżej pokrótce omówimy wyniki obserwacji mikroskopowej badanych stali i postaramy się wyciągnąć pewne wnioski.

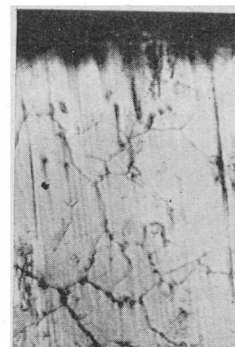


Pow. 1000×. Rys. 4. Traw. HNO₃.

Rys. 4 przedstawia warstwę naazotowaną w stali *M*. Grubość warstwy, otrzymanej w ciągu 2½ godzin przy 535°C, wynosi 0,04 mm. W warstwie rozróżnić możemy igły cementytu¹⁾ i bliżej nie dające się określić azotki. Wnętrze stali *M* zmieniło się, jak normalnie tego rodzaju stal, to znaczy wydzielił się cementyt¹⁾. Z porównania obu

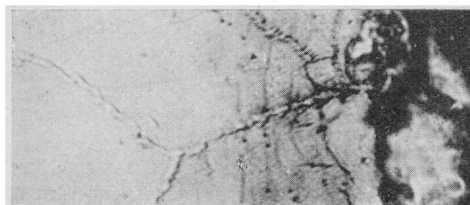


Pow. 1000×. Rys. 5.
Traw. HNO₃.



Pow. 1000×. Rys. 6.
Traw. HNO₃.

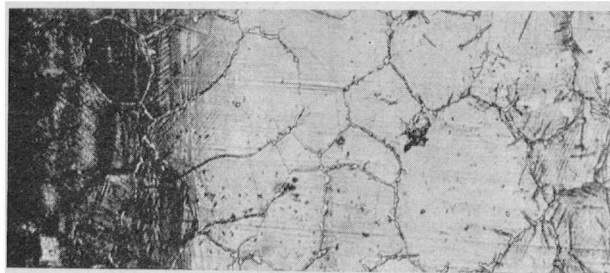
mikrografij wynika, że azotacja nie dopuściła do wydzielenia się cementytu, nie wyparły go jednak azotki w głąb materiału, gdyż na przejściu pomiędzy warstwą azotowaną i rdzeniem nie można zaobserwować zwiększenia się ilości cementytu w porównaniu z rdzeniem. Co więcej, z rys. 6 ÷ 9 wynika, że w bliskości warstwy naazotowanej



Pow. 1000×. Rys. 7. Traw. HNO₃.

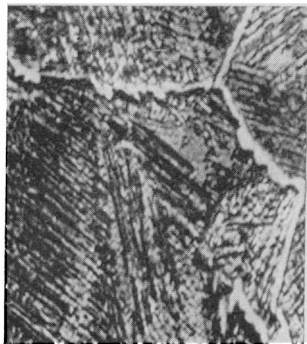
(535°C, 24 godz.) grubości 0,15 mm istnieje przejściowy pas grubości 0,25 mm, gdzie wydzielenia

cementytu na granicach ziarn są b. niewielkie (rys. 6, 8), a w warstwie naazotowanej minimalne (rys. 7, 9). Rys. 9 pokazuje wyraźnie typową budowę warstwy naazotowanej, w której widać b.

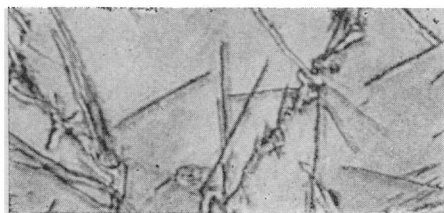


Pow. 200×. Rys. 8. Traw. odczyn. Fry'a

drobne wydzielenia cementytu. Rys. 8 podaje w sposób wystarczająco przejrzysty miarę zwiększenia się wydzielen cementytu. Wnętrze materiału posiada duże ilości wydzielonego cementytu, jak na rys. 10.



Pow. 1000×. Rys. 9. Traw. odczyn. Fry'a.



Pow. 1000×. Rys. 10.



Traw. HNO₃. Pow. 1000×. Rys. 11. Traw. odczynikiem Fry'a.

Rys. 11 przedstawia stal *M* po równoczesnej cementacji w przepływie amoniaku i gazu świetlnego. W warstwie nacementowanej występują azotki obok drobnych kuleczek cementytu w skupieniach, odpowiadających określeniu troostytu. Trawienie kwasem azotowym wyróżnia gdzieś warstwowe ułożenie składników budowy warstwy nacementowanej, jak na rys. 12. Rys. 13 podaje obraz rozłożenia troostytu, mieszaniny

wzrosła o 250% w stosunku do twardości pierwotnej materiału.

Wydaje się, że przez azotowanie zwiększa się rozpuszczalność węgla w austenicie (rys. 6 — 9), a obecność gazów nawęglających podczas azotowania powoduje równoczesne naazotowanie i nawęglanie materiału, co w rezultacie powoduje silny wzrost twardości warstwy nacementowanej.

Stal *N* nabywa po 2½ godzinach azotowania warstwę zewnętrzną zmienioną, grubości 0,14 mm. Jak widać z rys. 15 i 16, zmiana budowy po azotacji ujawnia się głównie jako zmiana tła węglików. Same węgliki zdają się nie ulegać zmianie. Zwiększenie czasu trwania azotacji nie wpływa na zmianę budowy pod względem jakości składników. Jeżeli jednak poddamy stal *N* równoczesnej cementacji azotem i węglem, wtedy warstwa zewnętrzna nasyci się słabiej azotem, natomiast wzrasta ilość węglików, jakie w stali tej występują.

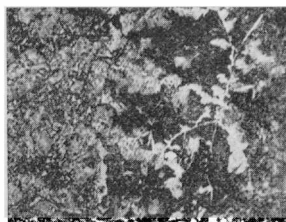
Zjawisko zwiększania się ilości i wielkości węglików obrazują rys. 17 i 18. Jeżeli zważymy, że zarówno chrom²⁾, jak i wolfram, zwiększają roz-

puszczalność węgla w żelazie alfa³⁾, musimy się zgodzić z faktem cementacji w ciągu 24 godzin przy 500°, zwłaszcza, że grubość cementacji wynosi zaledwie 0,22 mm.

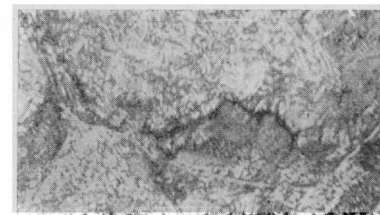
Cementacja węglem przeszkadza cementacji azotem. Jeszcze wyraźniej widać zjawisko przeszkadzania azotacji na stali *A*, na której wytwarza się b. cienka biała warstwa i azotowanie jest wyraźnie zahamowane przez obecność gazu świetlnego.



Pow. 1000×. Rys. 12. Traw. HNO₃.



Pow. 200×. Rys. 13. Traw. HNO₃.



Pow. 1000×. Rys. 14. Traw. HNO₃.

azotków i cementytu w postaci również troostyticznej (ciemniejsze) oraz igły i siatkę cementytu.

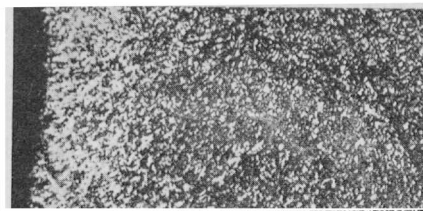
Rys. 14 podaje budowę wnętrza próbki, złożoną z troostytu i sorbitu, powstałych jako skutek wydzielania cementytu. Na skutek zmiany budowy rdzenia, twardość jego podniosła się o 75%, natomiast twardość warstwy nacementowanej

go. Rys. 20 przedstawia austenityczną stal chromowoniklową naazotowaną. Porównanie rys. 20 z rys. 9 nasuwa przypuszczenie, że do stali auste-

²⁾ Kriwobok i Grossmann. Trans. Am. Soc. Steel Treating 1930, str. 760 — 836.

³⁾ Feszczenko-Czopiński „Metaloznawstwo” II, str. 220—230.

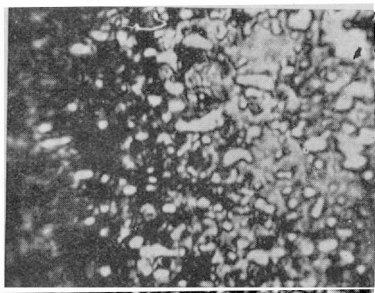
nitycznych chromowo-niklowych można zastosować teoretyczne wnioski, wysnute z badań stali austenicznych manganowych, z tem, że rolę cementytu spełniają w ostatnim wypadku węgliki podwójne.



Pow. 100×. Rys. 15. Traw. odcz. Fry'a.

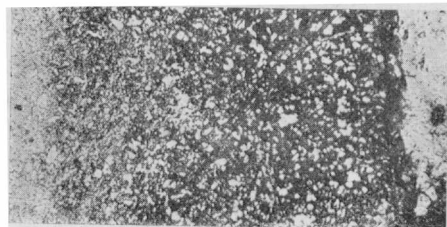
Wnioski

Austenit rozpuszcza w sobie azot dość łatwo, przyczem twardość austenitu rośnie. W miarę gru-



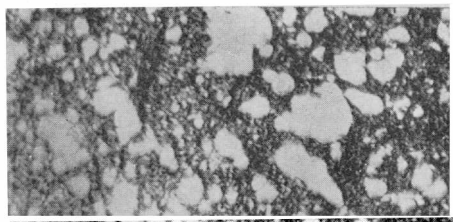
Pow. 1000×. Rys. 16. Traw. odcz. Fry'a.

bości warstwy naazotowanej w austenicznej stali manganowej, zmniejsza się



Pow. 200×. Rys. 17. Traw. HNO₃.

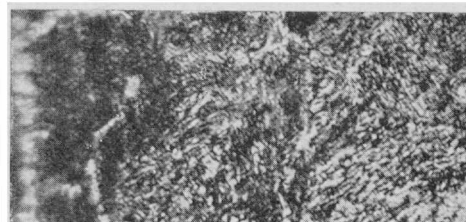
twardość warstwy⁴⁾. Obecność azotu sprzyja trwałości jednofazowej budowy austenitu. Azotacja



Pow. 1000×. Rys. 18. Traw. HNO₃.

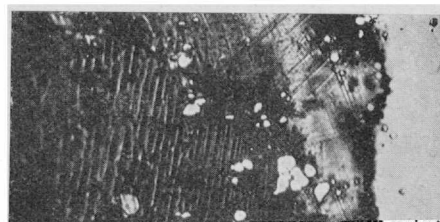
⁴⁾ E. Perchorowicz (Przeгляд Techniczny, 1934) wysnuwa taki sam wniosek w odniesieniu do stali austenicznych chromowo-niklowych.

amonjakiem nasyconym węglowodorami i tlenkami węgla powoduje przesylenie austenitu węglem i azotem, co wpływa dodatnio na zwiększenie grubości warstwy nacementowanej i jej twardości.



Pow. 1000×. Rys. 19. Traw. odcz. Fry'a.

Stal szybko tnąca azotuje się b. dobrze, dając warstwę azotowaną grubsza, lecz równą co do twardości stali chromowo - glinowo - molibdenowej o 0,48% C, azotowanej w analogicznych warunkach. Nasylenie amonjaku węglowodorami i tlenkiem węgla powoduje równoczesne nawęglenie i



Pow. 500×. Rys. 20. Traw. FeCl₃.

naazotowanie stali szybko tnącej, jednak tworzenie się węglików hamuje dyfuzję azotu do roztworu wolframu w żelazie alfa, a to pociąga za sobą zmniejszenie twardości powierzchni w porównaniu z azotowaniem czystym amonjakiem.

• • •

Contribution à l'étude de la nitruration des aciers spéciaux

Résumé:

Après avoir décrit les conditions dans lesquelles l'auteur a exécuté ses essais de la nitruration de l'acier austénitique à manganèse et de l'acier rapide, il cite les résultats obtenus concernant la dureté et l'épaisseur de la couche superficielle nitrurée à 530° C pendant 2½, resp. 24 heures de la nitruration. Il souligne que la dureté de l'acier à Mn obtenue par la nitruration durant 2½ h n'est pas inférieure à celle de l'acier à l'aluminium et qu'elle diminue lorsqu'on continue la nitruration jusqu'à 24 heures, tandis que l'épaisseur de la couche nitrurée augmente.

Ensuite l'auteur expose les résultats de la nitruration et cémentation simultanée par le gaz d'éclairage, ce que lui a donné l'augmentation de la dureté de l'acier à manganèse et la diminution de celle de l'acier à l'aluminium, ainsi que de l'acier rapide.

A la fin l'auteur s'occupe de l'analyse micrographique des aciers nitrurés en question et en déduit les conclusions.

Analiza mocy parowozów Ty23 P. K. P. i sposoby jej zwiększenia do 3000 KM bez znacznych zmian konstrukcji

Inż. J. Madeyski

Potrzeba powiększenia mocy parowozów towarowych P. K. P., w szczególności parowozu Ty23. — Analiza możliwości stosownej rekonstrukcji kotła, przegrzewacza, rozrządu pary, smarowania, wydmuchu, zasilania paleniska węglem. — Korzyści proponowanych zmian konstrukcyjnych — Możliwość ich wykonania podczas naprawy głównej.

EKONOMJA ruchu kolejowego może być zapewniona jedynie przy przewozach towarowych, pociągami o znacznej szybkości i znacznym obciążeniu, conajmniej do 2 000 tonn.

Przy zwiększaniu prędkości pociągu ciężkiego konieczne jest wprowadzanie hamulców samoczynnych, celem zmniejszenia kosztów personelu konduktorskiego i zwiększenia bezpieczeństwa ruchu.

Zwiększenie prędkości jazdy tak ciężkich pociągów wymaga zwiększenia mocy istniejących parowozów, które jest możliwe przy racjonalnej ich przebudowie.

Najnowsze i najsilniejsze parowozy towarowe, używane w Polsce do prowadzenia pociągów towarowych Ty23, IE, opisane w czasopiśmie „Przeгляд Techniczny” (1924 r., str. 229—231), są wprowadzone dostosowane do szybkiego biegu, jednak są za słabe, by móc prowadzić pociągi o obciążeniu 2000 t z prędkością 60 km/godz. na poziomie (konieczną ze względu na utrzymanie średniej prędkości jazdy 45 km/godz., z uwzględnieniem rozruchu pociągu i powolniejszej jazdy na wzniesieniach).

Maksymalna moc, jaką one, przy wielkiej prędkości, mogą obecnie wytworzyć, wynosi około 1 800 KM.

Charakterystykę pracy parowozu Ty 23 ilustruje wykres na rys. 1, oparty na wynikach badań tego parowozu przez Referat Doświadczalny Min. Komunikacji, ujętych w metryce parowozu.

Celem zorientowania się, jak wielkiej maksymalnej pracy i wagi pary potrzebować będziemy przy zwiększonej prędkości, oprzemy się na danych wykresów indykatorowych, zebranych w praktyce, i na odpowiednich wzorach matematycznych.

Wzór, służący do obliczenia ilości indykowanych koni mechanicznych na podstawie wykresu indykatorowego, brzmi, jak wiadomo:

$$N_i = \frac{2 \cdot F \cdot p_i \cdot c}{75}$$

- gdzie: F — robocza powierzchnia tłoka w cm^2 ;
 p_i — średnie ciśnienie na tłok kg/cm^2 ;
 c — prędkość tłoka w m/sek , wyrażona wzorem $c = \frac{n \cdot s}{30}$, zaś
 n — ilość obrotów kół napędnych na minutę = $\frac{5310 \cdot V}{D}$,
 przyczem
 V — prędkość pociągu w km/godz ;
 D — średnica kół napędnych w mm .

Stosując ten wzór, obliczymy dla Ty 23 pracę indykowaną, wstawiwszy wartości: $F = 3\,240 \text{ cm}^2$, skok $s = 0,72 \text{ m}$ i odpowiednią prędkość jazdy $V \text{ km/h}$. Wówczas $N_i = 7,58 \cdot p_i \cdot V$. Jest to wzór, na podstawie którego będziemy mogli obliczyć wymagane średnie ciśnienie na tłok p_i , znając moc

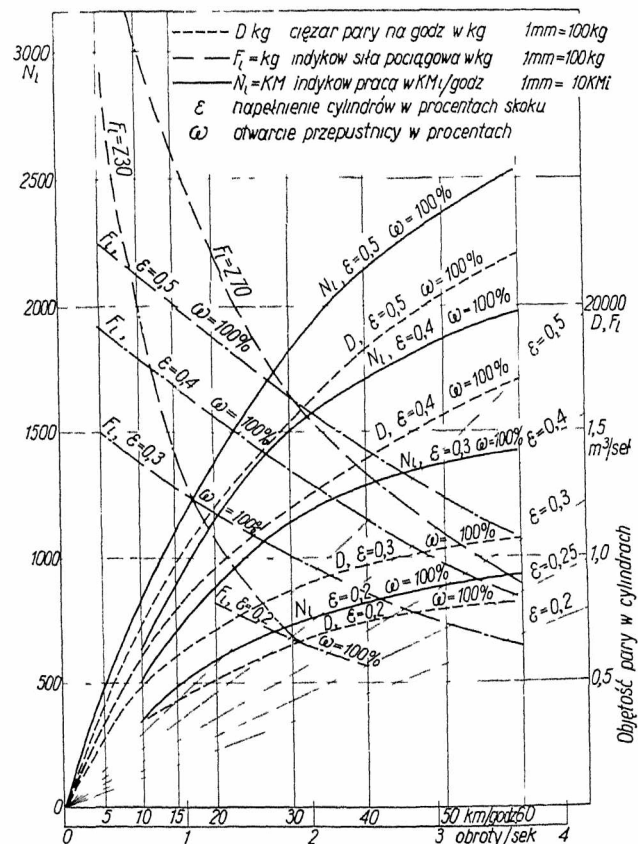
i prędkość jazdy w km/godz. , gdyż $p_i = \frac{N_i}{7,58 \cdot V}$.

Chcąc prowadzić na wzniesieniu 5‰ pociąg, wążący 2 150 t wraz z parowozem, z prędkością 30 km/godz. , musielibyśmy rozwinąć moc *):

$$N_{i_{30}} = \frac{2150 \left(2,4 + \frac{30^2}{1300} + 5 \right) 30}{0,9 \cdot 270} = 2147 \text{ KM,}$$

zaś przy prędkości 60 km/godz. :

$$N_{i_{60}} = \frac{2150 \left(2,4 + \frac{60^2}{1300} \right) 60}{0,9 \cdot 270} = 2745 \text{ KM.}$$



Rys. 1. Charakterystyka pracy parowozu Ty23 wedł. metryki Referatu doświadczalnego Min. Komunikacji.

*) Według wzoru $N_i = \frac{ZV}{0,9 \cdot 270}$, gdzie Z jest siłą pociągową na obwodzie kół napędnych, równą $(G_p + G_w) W$, przyczem G_p — ciężar parowozu, G_w — ciężar wagonów, W — opór tarcia w kg/t ciężaru pociągu = $2,4 + V^2(1300 + s^2/100)$, gdzie V — szybkość w km/h , a s — wzniesienie. Por. Borkhausen. Das Eisenbahnwesen d. Gegenwart. 1920, I, str. 117. Przy większych obciążeniach wzór oporu pociągu wykazuje nieco za wysokie wartości, będziemy go pomimo to używali, gdyż w naszej kalkulacji nie uwzględniamy oporów w łukach i bocznego wiatru.

Aby móc taką moc rozwinąć, musimy wytworzyć średnie ciśnienie p_i , które wynosi w wypadku $V = 30 \text{ km/h}$ $p_i = \frac{2147}{7,58.30} = 9,44 \text{ kg/cm}^2$, zaś w wy-

padku $V = 60 \text{ km/h}$ $p_i = \frac{2745}{7,58.60} = 6,03 \text{ kg/cm}^2$.

Normalne parowozy typu Ty 23 wykazują obecnie przy tych prędkościach najwyżej: $7,92 \text{ kg/cm}^2$ przy $V = 30 \text{ km/godz.}$, zaś $3,96 \text{ kg/cm}^2$, przy $V = 60 \text{ km/godz.}$, a więc wartości o 20 — 53% niższe od wymaganych. Prócz tego, można zauważyć, że wzrost prędkości jazdy wpływa nieproporcjonalnie na zmniejszenie średniego ciśnienia na tłok, co jest także powodem znacznej obniżki mocy tego typu parowozu.

Jeżeli obliczymy średnie ciśnienie p_i , odpowiadające według podanego wyżej wzoru mocy wykazanej na wykresie rys. 1, otrzymamy następujące dane:

przy napełnieniu cylindrów	50%	40%	30%	20%	skoku tłoku
p_i przy prędk. jazdy 30 km/h	6,6	5,4	4,2	2,63,	zaś
" " " " 60 " "	4,72	4,39	3,1	2,0	kg cm ²

Z tego wykresu możemy także wyznaczyć ilość pary zużywanej na KM/godz. która wynosi:

przy prędkości jazdy 30 km/godz.	8,3	7,9	7,6	9,0	kg/KM/godz.
" " " " 60 " "	8,7	8,5	7,0	8,1	"

Porównanie i bliższe rozważenie tych cyfr wykaże wyraźnie, jak wiele trzeba będzie w obecnym parowozie Ty 23 zmienić, by móc jego moc zwiększyć do 3000 KM.

Przystępując do analizy warunków pracy parowozu Ty 23, IE, rozważać będziemy poszczególne jego elementy.

A. Kocioł

Zastanowimy się nad tem, czy kocioł normalnego parowozu Ty 23 nadaży z produkcją pary, gdy parowóz wykonywać będzie pracę poprzednio obliczoną, t. j. rozwijać średnią moc 2147 i 2745 KM. Opierając się na danych z praktyki, że 1 kg pary przegrzanej do 350°C może wykonać przy 50% napełnieniu cylindrów 32 000 kgm pracy (patrz Barkhausen: „Das Eisenbahnmaschinenwesen der Gegenwart, 1920, str. 603), co w nowobudowanych parowozach Ty 23 od Nr. 601 wwyż jest osiągalne bezpośrednio, zaś w normalnych parowozach Ty 23 od Nr. 1 do 511 — pośrednio, przez zastosowanie klap w dymnicy, zasłaniających dolne płomieniówki (opisanych w Przeglądzie Technicznym z r. 1931, str. 38—40 i 66—70), potrzebowalibyśmy w pierwszym wypadku przy mocy 2147 KM $\frac{2147 \cdot 75 \cdot 3600}{32000} = 18150 \text{ kg pary}$.

W drugim wypadku, przy prędkości 60 km/godz., możemy stosować mniejsze napełnienie i wówczas 1 kg pary przegrzanej do 400°C może wytworzyć pracę 42 000 kgm, czyli do rozwinięcia mocy 2745 KM potrzebować będziemy $\frac{2745 \cdot 75 \cdot 3600}{42000} = 17650 \text{ kg pary}$.

W obydwu więc wypadkach musimy wytworzyć prawie taką samą ilość wagowo pary, przyczem

stwierdzamy, że wysoki stopień przegrzania pary odgrywa tu wielką rolę, skoro mniejszą wagą pary możemy wykonać pracę o 28% większą

Zadaniem naszym będzie więc wykonać rekonstrukcję kotła w tym kierunku przede wszystkim, by wytwarzał on parę wysoko przegrzaną, bez względu na natężenie rusztu, przekraczającą nawet 400°C , następnie zaś, aby straty ciepła w spalnicach odlotowych były jaknajmniejsze.

Przyjąwszy wartość opałową użytego węgla 6700 Kal i sprawność kotła 70%, potrzebować będziemy do wytworzenia 18 000 kg pary przegrzanej do 420° $\frac{18000 \cdot 787,3}{6700 \cdot 0,7} = 3021 \text{ kg/godz.}$ węgla, czyli (przy obecnej wielkości pola rusztu $4,5 \text{ m}^2$) natężenie rusztu wyniesie $671 \text{ kg/m}^2/\text{godz.}$

Tak wielkie natężenie rusztu w normalnych parowozach przyczyni się do znacznego pogorszenia sprawności kotła, wobec tego musimy dążyć do zmniejszenia rozchodu węgla na godzinę, spożytkowując ciepło pary odlotowej, t. j. stosując podgrzewacz wody parą odlotową systemu Metcalf-Friedmann lub in.

Obecnie stosowany podgrzewacz Metcalfa Nr. X/10 może tłoczyć do kotła 6 300—10 500 litrów wody na godzinę, jest on więc za mały przy produkcji pary 18 000 kg/godz. Będziemy więc musieli zastosować większy numer tego systemu, np. Nr. XIII/13, dostarczający 10 800 — 18 000 litrów na godz., względnie wmontować drugi aparat Metcalf'a Nr. X/10 zamiast istniejącego zwykłego inżektora, lub też jako trzeci aparat zasilający, ze specjalnem ujęciem do spodu skrzyni ogniowej.

O potrzebie takiego urządzenia będzie później mowa. Narazie wspomnieć należy, że ostatnio proponowane rozwiązanie będzie przydatniejsze do parowozów wykonujących pracę w skrajnie zmiennych granicach. Ponieważ w praktyce zdarza się przeważnie, że parowozy prowadzą tylko w jedną stronę pociągi mocno ładowane, zaś z powrotem prowadzą długie zespoły próżnych wagonów, do których prowadzenia trzeba prawie o połowę mniejszej pracy, przeto zastosowanie za wielkiego aparatu Metcalf'a mogłoby pogorszyć jego skutek, wobec tego można powiedzieć, że zastosowanie trzech aparatów zasilających jest najracjonalniejsze. Drugi aparat Metcalf'a, tłoczący wodę do spodu skrzyni ogniowej, musiałby mieć zabezpieczenie samoczynne, umożliwiające jego uruchomienie tylko wówczas, gdy w skrzyni suwakowej znajduje się para. Ponieważ już obecnie istnieje połączenie tego aparatu ze skrzynią suwakową, dostosowanie takiego bezpiecznika nie sprawi zbyt dużego trudu.

Przy użyciu aparatu Metcalf-Friedmann stwierdzono, że moc indykowana wzrasta o około 12%, z powodu zmniejszenia przeciwcisnienia. Prócz tego na każdy kilogram wtłoczonej do kotła wody doprowadza się około 95 Kal ciepła odzyskiwanego z pary odlotowej, wskutek tego stosowanie tego aparatu daje możliwość zmniejszenia rozchodu węgla. Wobec zmniejszenia z powodu podgrzania wody ilości ciepła potrzebnego do wytworzenia 1 kg pary o temperaturze 420°C , z poprzednio 787,3 Kal na 692,3 Kal, całkowita ilość ciepła, jaką do kotła musimy wprowadzić ze spalonego węgla, wyniesie $18000 \cdot 692,3 = 12461400 \text{ Kal/godz.}$

W tych warunkach pracy parowozu można się spodziewać, że faktyczne zapotrzebowanie węgla wyniesie $\frac{12\,461\,400}{6\,700 \cdot 0,7} = 2583 \text{ kg/godz}$, zaś natężenie rusztu zmaleje na $574 \text{ kg/m}^2/\text{godz.}$, co odpowiada już granicom stosowanym w praktyce

Zapytamy teraz, czy obecny kocioł parowozu Ty 23 jest zdolny pochłoniąć tak wielką ilość ciepła przy 70% sprawności?

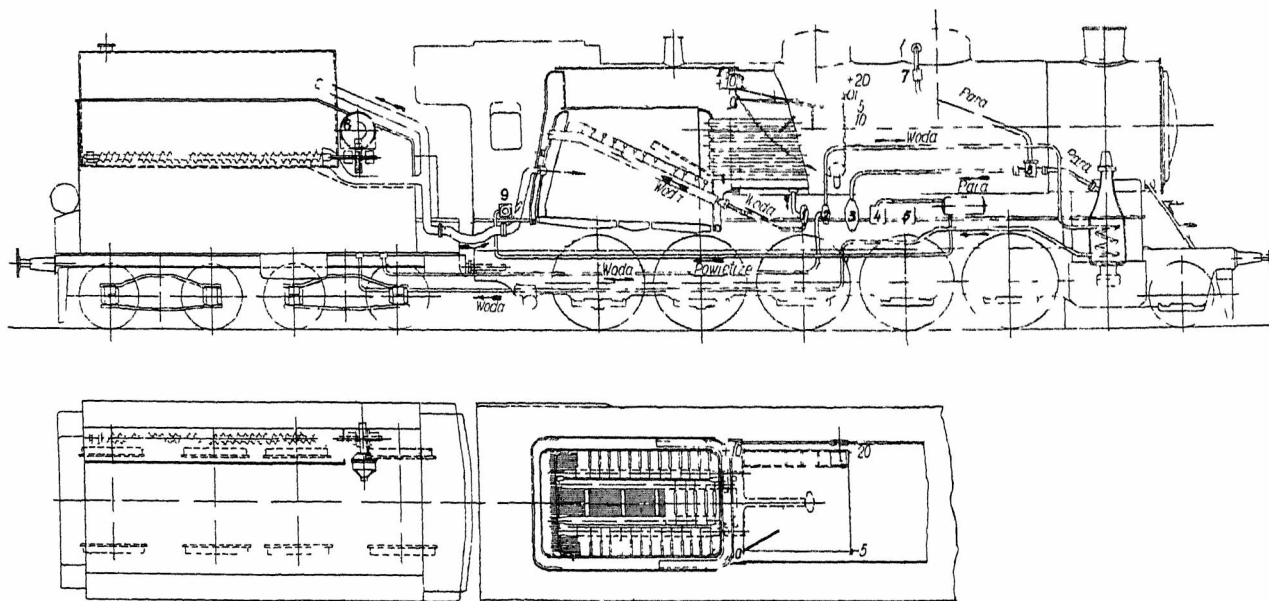
Ciepło $12\,461\,400 \text{ Kal/godz.}$ zużyte będzie częściowo na wytwarzanie pary nasyconej i wchłonięte być musi przez powierzchnię ogrzewaną skrzyni ogniowej oraz rur, zaś mniejszą część ($18\,000 \cdot 121,3 = 2\,183\,400 \text{ Kal/godz.}$) musi pochłoniąć powierzchnia ogrzewana przegrzewacza, by suchą parę nasyconą przegrzać do 420°C , gdyż tak wysoko przegrzaną parę pragniemy do pracy parowozu stosować, a ciepło potrzebne do przegrzania 1 kg pary z 200°C do 420°C wynosi $121,3 \text{ Kal/kg}$.

Spalając 2583 kg węgla z teoretyczną ilością powietrza, t. j. 10 kg na każdy kilogram spalonego węgla, wytworzymy minimalną wagę spalin $2583 \cdot 11 = 28\,413 \text{ kg/godz.}$ (zakładając, że całkowite spalanie będzie w tych warunkach możliwe).

Ty 23 $= 16,5 \text{ m}^2$, przyjąwszy nawet bardzo wysoką średnią temperaturę spalania 1754°C przy temperaturze wody w kotle 200°C , musiałby współczynnik przewodności ciepła od spalin do wody wynosić $K = \frac{7\,227\,420}{16,5 \cdot (1\,754 - 200)} = 281,9 \text{ Kal/m}^2/\text{godz.}/^\circ\text{C}$.

Tak wysoki współczynnik przewodności ciepła przekracza już granice obserwowane w praktyce (patrz Garbe. „Die zeitgemasse Heissdampflokomotive, 1924, str. 37, rys. 34). Jak widzimy, ta powierzchnia ogrzewana skrzyni ogniowej jest za mała i musi się ją wybitnie zwiększyć, by w podobny sposób, jak poprzednio podano, obliczony współczynnik przewodności ciepła K był mniejszy od $213 \text{ Kal/m}^2/\text{godz.}/^\circ\text{C}$, który już zbliża się do spotykanych w praktyce.

Powiększenie powierzchni ogrzewanej skrzyni ogniowej o kilka metrów kwadratowych jest możliwe przy okazji głównej naprawy parowozu, gdy wbudujemy 4 rury wodne kształtu litery „S”, które będą równocześnie ogniotrwałym dźwigarem dla racjonalnie zaprojektowanego sklepienia ogniotrwałego, przyczyniającego się też do racjonalnego spalania węgla przy małym polu rusztu.



Rys. 2. Proponowana rekonstrukcja parowozu Ty23.

Teoretyczna ilość uzyskanego ciepła wyniesie $2583 \cdot 6700 = 17\,066\,100 \text{ Kal}$.

Chcąc obliczyć, ile ciepła pochłonie skrzynia ogniowa, gdy temperatura spalin spadnie do 1200°C tuż przed wejściem do rur, odejmujemy od teoretycznej ilości ciepła $17\,066\,100$ ciepło zawarte w spalinach uchodzących do rur, przyjmując, że ciepło właściwe 1 kg spalin wynosi $0,265 \text{ Kal}$, czyli $28\,413 \cdot 0,265 \cdot 1200 = 903\,563 \text{ Kal}$, co daje różnicę $8\,030\,466 \text{ Kal}$, pozostających w skrzyni ogniowej. Przyjmując 10% tego ciepła na straty w popielniku, pozostaje $7\,227\,420 \text{ Kal/godz.}$, jako ciepło wchłonięte przez powierzchnię ogrzewaną skrzyni ogniowej.

Aby tę ilość ciepła pochłoniąć, przy powierzchni ogrzewanej skrzyni ogniowej normalnego kotła

Rys. 2 przedstawia szkic takiego urządzenia.

Drugim czynnikiem, przyczyniającym się do sprawniejszego pochłaniania ciepła przez powierzchnię ogrzewaną kotła, jest obniżenie temperatury wody w stojaku do 100°C . Tłocząc do stojaka wodę podgrzaną tylko do 100°C , uzyskujemy o 100° większą różnicę temperatur. Prócz tego, odprowadzając energicznie ciepło, nie dopuszczamy do powstawania bąbelków pary w dolnej części paleniska, tam gdzie temperatura spalin jest najwyższa, podnosimy przez to nie tylko znacznie sprawność kotła, lecz nadewszystko chronimy kocioł od szkodliwego działania wysokich temperatur spalania na ściany kotła i ich połączenia (lanie rur, cieknięcie zespórek i t. p.).

Ten nowy napózór projekt napawa obawami

konserwatystów. Przypuszczają oni bowiem, że chłodzenie paleniska wodą o temperaturze 100° C będzie powodować wysokie napięcia w blachach kotłowych, co może być niebezpieczne dla wytrzymałości kotła, i powodować częste defekty i przerwy w ruchu. Obawy te są jednak niesłuszne. Łatwo to wykazać zastanowiwszy się, co jest dla kotła szkodliwsze, czy przegrzewanie blach do 400° C z powodu nieodpowiedniego odprowadzania baniek pary od powierzchni wewnętrznej stojaka, czy też wtłaczanie do stojaka wody o temperaturze 100°C, w czasie intensywnej produkcji ciepła na ruszcie, które byłoby wchłaniane przez wodę przepływającą z odpowiednio wielką prędkością; ta bowiem uniemożliwia wytwarzanie się baniek pary i w ten sposób nie dopuszcza do nagrzewania się blach powyżej temperatury wody w kotle.

Ze takie rozwiązanie zasilania kotła wodą jest bardzo celowe i pożyteczne, pouczy nas urządzenie parowozu sowieckiego ICI, opisanego w czasopiśmie V. D. I. Nr. 10 z r. 1929, str. 343.

Również wbudowanie do skrzyni ogniowej lejów Nicolson'a, stosowanych z powodzeniem w Ameryce, a obecnie także w Europie (Francja i Niemcy), przyczyni się do podniesienia sprawności skrzyni ogniowej. (Patrz: V. D. I. 1931, str. 1488 i Technika Parowozowa z r. 1934, str. 31).

Blizsze szczegóły urządzenia zasilania kotła od dołu będą opisane w innym artykule. Z załączonego rys. 2 możemy zorientować się, jak ten projekt wygląda. Tu zobaczymy jeszcze inne urządzenia ciekawe, jak chłodzenie pary odlotowej i potrójną cyrkulację wody w kotle oraz szczególnie skuteczny osadnik kamienia kotłowego. Urządzenia te nie mogą tu być szczegółowo omówione, będą niedługo tematem następných referatów, o urządzeniach dążących do podniesienia sprawności parowozów i ekonomji ruchu przy równoczesnem zmniejszeniu kosztów ich konserwacji.

Przy rozważaniu zdolności pochłaniania ciepła w rurach, uwzględnić będę przerobiony kocioł parowozu Ty23 z poprzednio 4-rzędowego przegrzewacza na 5-rzędowy z 40 płomienicami o \varnothing 135/143 mm. Parowozy te otrzymały zmienione numery od 601 wzwyż. 5 parowozów Ty23 Nr. 601, 602, 603, 616 i 617 otrzymało urządzenie przegrzewacza według projektu Warsz. Sp. Akc. Budowy Parowozów w Warszawie (następnie oznaczonej skrótem W. S. A. B. P.), opisanego w „Przeł. Techn.” z r. 1931, str. 38 — 40 i 66 — 70, znamienne tem, że 15 płomienic ujmuje elementy osuszacza pary, złożone z dwóch rurek w kształcie U \varnothing 36/43 mm, spojonych ze sobą równolegle przed ujściem do komory dla suchej pary nasyczonej, w zmienionej skrzynce przegrzewacza, skąd uchodzi para do 25 elementów pętlowych, również o średnicy rur 36/43 mm, z których para powraca do skrzynki przegrzewacza i następnie uchodzi do cylindrów silnika. 127 płomieniówek, znajdujących się poniżej płomienic, zasłaniają klapy w dymnicy, przyczyniające się do wydatnego podwyższenia temperatury przegrzania pary. Parowozy te wytwarzają z łatwością parę o temperaturze 400°C i posiadają wielką zdolność pochłaniania ciepła ze spalin, dzięki temu, że spaliny muszą przepływać ze znaczną prędkością przez wolny przekrój w ru-

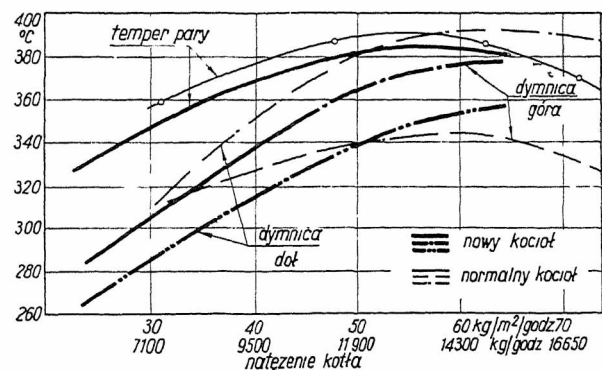
rach, współczynnik przewodności ciepła wzrasta i spaliny uchodzą do dymnicy z temperaturą niższą niż w normalnych parowozach Ty23 bez klap.

Parowozy Ty23 tej samej numeracji, poza temi pięcioma, posiadają elementy przegrzewacza Schmidt'a czteroobiegowe, o średnicy rur 30/38 mm, są zbudowane na zasadzie niemieckiego wzoru i wytwarzają wprawdzie parę wyżej przegrzaną niż parowozy 4-rzędowe, mają jednak niższą sprawność kotła, gdyż spaliny, przepływające przez znacznie większy wolny przekrój w rurach, nie mogą oddać swego ciepła parze i wodzie z tego powodu, że współczynnik przewodności ciepła, malejący w miarę zwiększania się stosunku $q/G = \frac{\text{wolny przekrój cm}^2}{\text{waga spalin na godz.}}$, ma bardzo niską wartość (patrz: Garbe, j. w., str. 41, wzgl. „Przeł. Techn.” 1931, str. 67).

Powierzchnia ogrzewana rur tego nowego typu kotła Ty23 (W.S.A.B.P.) dzieli się na: 1) płomieniówkę (42,5 m²) oraz 2) płomienicę (75,42 m²). Opór przepływu spalin w płomieniówkach i płomienicach jest różny. Podział przepływu spalin przez te rury nastąpi w stosunku 1 : 4,6 (jak to ustalono na podstawie obliczeń bilansu cieplnego). Do płomieniówek przejdzie więc $28\,413 \cdot 4,6 = 6\,176$ kg/godz., zaś reszta $22\,237$ kg/godz. pary — do płomienic.

Wolny przekrój dla przepływu spalin w płomieniówkach wynosi 827 cm². Stosunek $q/G = 0,134$. Według Garbego (j. w., str. 41, rys. 38), współczynnik przewodności ciepła ze spalin do wody w kotle wyniesie $k = 55$ Kal/m²/godz./1° C.

Chcąc wyznaczyć ilość ciepła pochłoniętego przez płomieniówki, obliczymy W , t. j. ilość ciepła przewodzonego przez powierzchnię ogrzewaną kotła z jednego kilograma spalin $W = \frac{F \cdot k}{G}$, gdzie F = powierzchnia ogrzewana płomieniówek, k = współczynnik j. w., G = waga spalin kg/godz. Podstawiając te wartości, otrzymamy $W = \frac{42,5 \cdot 55}{6\,176} = 0,378$. Według Garbe'go (j. w. str. 41, rys. 36 i 37)



Rys. 3. Temperatury pary przegrzanej i gazów w dymnicy.

temperatura wylotowa wynosi 430° przy temperaturze dolotowej 1 200°, zaś średnia różnica temperatur $t_m - t_0 = 540°$, czyli ilość ciepła pochłoniętego przez płomieniówki, $Q = 42,5 \cdot 55 \cdot 540 = 1\,260\,000$ Kal.

Ilość pochłanianego przez płomienicę ciepła obliczymy podobnie. $q'G = \frac{3402}{22237} = 0,153$, więc k wynosić będzie 53 Kal/godz./m²/1°C. Przewodność ciepła przez płomienicę $\frac{W_1}{2} = \frac{F \cdot k}{G_p} = \frac{75,42 \cdot 53}{22237} = 0,178$, zaś przegrzewacza $\frac{W_2}{2} = \frac{F_p \cdot k \cdot 0,9}{G_p} = \frac{96,08 \cdot 53 \cdot 0,9}{22237} = 0,206$, czyli $\frac{W_1 + W_2}{2} = 0,384$

Temperatura odlotowa spalin wynosi 480° przy początkowej temperaturze 1200° (Garbe, j. w., str. 43, rys. 39), zaś średnia różnica temperatur $t_m - t_0 = 580^\circ \text{C}$ przy $t_a = 480^\circ \text{C}$ oraz $t_e = 1200^\circ$ (j. w. str. 41, rys. 37). W tych warunkach ilość pochłoniętego ciepła przez powierzchnię ogrzewaną płomienic, nie uwzględniając ich końcówek przed i poza przegrzewaczem, wyniesie: $Q_{pl} = 75,42 \cdot 53 \cdot 580 = 2\,318\,411$ Kal/godz.

Przegrzewacz o powierzchni ogrzewanej 96,08 m² ma pochłoniąć (jak już poprzednio podaliśmy) 2 183 400 Kal/godz. Aby mógł pochłoniąć tę ilość ciepła, musiałaby istnieć w płomienicach średnia różnica temperatur $\frac{2\,183\,400}{96,08 \cdot 53 \cdot 0,9} = 476^\circ \text{C}$. Ponieważ temperatura odpływowa spalin z płomienic wynosi 480° C, możemy spodziewać się, że wymagane przegrzanie pary zostanie osiągnięte.

Projektowany przez W.S.A.B.P. kocioł pochłonie więc:

W skrzyni ogniowej	7 227 420 Kal
W płomieniówkach	1 260 000 „
W płomienicach	2 318 411 „
W przegrzewaczu	2 183 400 „
Razem	12 989 222 Kal

pomijając nawet korzyści, wynikające z zastosowania osuszacza i sztucznej cyrkulacji wody w kotle. Stosunek ciepła pochłoniętego przez kocioł do ciepła wydobytego z węgla, wyrażający sprawność kotła, wynosi $\eta = \frac{12\,989\,222}{17\,066\,100} = 76,10\%$. Taka sprawność kotła jest w praktyce osiągalna.

Z powyższego widzimy, że normalny kocioł parowozu Ty23 wymaga dodatkowych uzupełnień, dających się wprowadzić łatwo przy okazji głównej naprawy parowozu, i dopiero po takiej rekonstrukcji nadawać się będzie w całej pełni do produkcji pary wymaganej jakości i ilości.

Poznawszy charakterystyczne braki kotła, przystąpimy do analizy silnika, sprawdzając czy on swojemi wymiarami i rozrzędem pary będzie w stanie, przy danem ciśnieniu pary w kotle, t. j. 15 ata, przyjąć i przemienić ekonomicznie na pracę efektywną tę wielką ilość pary, którą kocioł jest zdolny wyprodukować.

B. Przegrzewacz

Przy zamianie ciepła na pracę mechaniczną, która zależna jest od spadku ciśnienia i temperatury danej wagi pary, bardzo ważną rolę odgrywa stopień przegrzania pary, to też przegrzewacz parowozu musi być nader sprawny w tym sensie, że musi wytwarzać szybko i przy najmniejszym natężeniu rusztu parę wysoko przegrzaną conajmniej do 400° C. Przy stosowaniu takiej pary możemy

wykonywać ekonomicznie nawet pracę przy pełnem napełnieniu, dzięki temu, że para wysoko przegrzana ma małą gęstość i 1 kg jej zajmuje wielką objętość. Wykres indykatorowy może łatwo wykazać potrzebne do wymaganej pracy średnie ciśnienie na tłok, kocioł nie będzie wyczerpalny i ekonomia ruchu nie będzie cierpieła z powodu stosowania wielkich napełnień cylindrów, o ile dbać będziemy o to, by para mogła szybko uchodzić z cylindrów po ukończeniu skoka tłoka i odzyskamy ciepło przegrzania, zawarte w parze odlotowej. Zważywszy, że ciepło przegrzania pary wynosi około 0,55 Kal na każdy stopień przegrzania pary, możemy przez chłodzenie pary odlotowej wodą, pobieraną z tendra do zasilania kotła, odzyskać nietylko znaczną ilość ciepła przegrzania pary do podgrzania wody, lecz równocześnie spowodować znaczne zmniejszenie objętości pary wysoko przegrzanej, co będzie pomocne do zmniejszenia przeciwcisnienia na tłok, przyczem takie chłodzenie będzie możliwe stosunkowo niewielką wagą wody, zawartej w tendrze.

Przegrzewacz normalnego parowozu Ty23, 4-rzędowego, pomimo dość znacznej pow. ogrz. 73,5 m², jest bardzo niekorzystny, wytwarza bowiem parę nisko przegrzaną, najwyżej do 320° C przy największym natężeniu rusztu, z tego powodu, że posiada elementy 32/40 w rurach 125/132, wobec czego za mało spalin przepływa przez płomienicę. Przez dodanie klap w dymnicy, zasłaniających dolne płomieniówki (patrz: Przegl. Techn. z roku 1931, str. 38—40 i 66—70), można poprawić znacznie sprawność przegrzewacza tych parowozów.

Dobre wyniki, uzyskane w praktyce na łącznie 60-ciu parowozach Ty23 i Tr12, przyczyniły się do rozwiania obaw konserwatystów, że stosowanie pary przegrzanej powyżej 300° C jest niedopuszczalne z powodu małej odporności smarów na tak wysokie temperatury. Dopiero gdy praktyka wykazała, że spalanie się smaru w cylindrach jest zjawiskiem przedewszystkiem zależnym od zastosowania suwaka tłokowego i sposobu użycia parowozu (patrz: „Technika Parowozowa“ 1934, str. 17—21), dopuszczono do stosowania rekonstrukcji kotłów zmierzającej do podniesienia temperatury przegrzania pary powyżej 300° C, a mianowicie przesunięto elementy przegrzewacza bliżej ku skrzyni ogniowej, z poprzednio 600 mm na 350 mm, i przekonano się, że one nie przepalają się. Obecnie Niemcy wysuwają te elementy nawet na 150 mm. Praktyka nauczyła więc, że obawy konserwatystów były przesadzone. Wreszcie zgodzono się na rekonstrukcję kotła Ty23, poprzednio wspomnianą, t. j. zbudowano kocioł z pięciu rzędami płomienic (40 sztuk zamiast 34 poprzednio) i zmieniiono średnicę płomienic na 135/143 mm zamiast poprzednio 125/133 mm. W ten sposób poprawione przegrzewacze wykazały odrazu korzyści w zmniejszonym rozchodzie węgla na 1 000 tonno-kilometrów brutto o ok. 12%.

Pomimo, tych zmian, przegrzewacz obecny nie odpowiada w całości wymogom racjonalnej gospodarki kolejowej, gdyż przegrzanie pary jest zależne od natężenia rusztu i przy małej pracy nie osiąga nawet 300° C.

Gdybyśmy chcieli skorzystać ze wzorów francuskich, powinniśmy stosować elementy przegrze-

wacza systemu „Robinson“, który jest sprawniejszy od elementu Schmidt'a.

Chcąc zrozumieć celowość projektowanych przez W.S.A.B.P. zmian przegrzewacza, ważne jest wniknięcie w znaczenie wykresu, ilustrującego zmianę współczynnika przewodności ciepła k (patrz „Garbe“, str. 41, rys. 38, Die Heissdampflokomotive oraz „Przeгляд Techniczny“ z r. 1931, str. 67, rys. 4) w zależności od stosunku $q/G = \frac{\text{Wolny przekrój rur cm}^2}{\text{Waga spalin kg/godz}}$.

Spółczynnik k podnosi się gwałtownie w górę, gdy stosunek q/G maleje w granicach 0,1 — 0,05. W tych warunkach może mała powierzchnia ogrzewana płomieniem wyprodukować wielką wagę pary, o ile spaliny o odpowiednio wysokiej temperaturze będą przepływać ze znaczną prędkością przez rozmyślnie zwężony przekrój, wolny w rurach. Zastosowując te własności przewodności ciepła od gazów do powierzchni przegrzewacza, możemy podnieść wydatnie sprawność każdego przegrzewacza parowozowego przez zastosowanie poprzednio już kilkakrotnie wymienionych klap w dymnicy, zasłaniających dolne płomieniówki, w tym celu, by utrudnić odpływ spalin przez płomieniówki i zmusić je do przepływu przez zwiększony opór w płomienicach.

Najnowsze zdobycze techniki, oparte na tej zasadzie, przedstawia kocioł systemu „Velox“ szwajcarskiej firmy Brown-Boveri, opisany w czasop. V. D. I. Nr. 42 z roku 1932 str. 1037, oraz w Przegl. Techn. z roku 1933, str. 406). Ten system kotła w zastosowaniu do parowozów stanowi „problem przyszłości“, umożliwia bowiem uzyskanie 90% sprawności kotła przy największym jego natężeniu.

W poprzednim obliczeniu wydajności kotła Ty23 widzieliśmy, że pomimo spalania wielkiej ilości węgla na godzinę, nawet przy zastosowaniu klap w dymnicy, zasłaniających dolne płomieniówki, przepływało tylko 22 237 kg spalin przez płomienice, dzięki temu, że celem zmniejszenia strat kominowych pragnęliśmy spalić węgiel przy najmniejszym nadmiarze powietrza. Wolny przekrój q w płomienicach jest jednak jeszcze za duży i wskutek tego stosunek q/G jest za duży, wobec czego k jest stosunkowo za małe i ilość przewodzonego ciepła przez powierzchnie ogrzewane kotła i przegrzewacza za mała. Gdybyśmy zwężili ten przekrój do tego stopnia, że prędkość przepływu spalin odpowiadałaby prędkości głosu, t. j. 333 m/sek, jak to się dzieje w kotle „Velox“, moglibyśmy z poprzednio podanej wagi spalin wydobyć znacznie więcej ciepła i podnieść znacznie sprawność kotła. Teraz zrozumiemy, dlaczego parowozy bez klap w dymnicy nie produkują pary wysoko przegrzanej. Jeśli otworzymy klapy w parowozie z klapami, co identyfikuje się z parowozem urządzonym bez klap, wówczas ten sam ciąg, istniejący przy danej pracy parowozu, może zasysać większą ilość powietrza przez ruszt, wskutek zwiększonego przekroju dla przepływu spalin w rurach. Ten nadmiar powietrza wpływa na zwiększenie strat ciepła w spalinach odlotowych wskutek wzrostu wagi spalin, oraz powoduje znaczny spadek temperatury spalania węgla na ruszcie, wskutek czego ilość ciepła przewodzonego przez powierzchnię ogrzewaną kotła, względnie przegrzewacza, pomimo przepływu nawet takiej samej wagi spalin przez płomienice, jed-

nak o znacznie niższej średniej temperaturze, może być za mała, by osuszyć wilgotną parę i dostatecznie wysoko ją przegrzać.

Tu leży wyższość parowozów Ty23 konstrukcji W. S. A. B. P. od poprzednio opisanych, budowanych według wzoru niemieckiego.

Do wyjaśnienia tej sprawy posłuży wykres rys. 3, zaczerpnięty z artykułu p. t. „Die neuere Entwicklung des Lokomotivkessels bei der deutschen Reichsbahn“, ogłoszonego w czasopiśmie V. D. I. Nr. 35 z roku 1929, str. 1029 przez Inż. Wagnera. Wykres ten daje porównanie temperatur pary przegrzanej i spalin w dymnicy kotła nowego, projektowanego przez Inż. Wagnera, z temiż temperaturami normalnego kotła parowozu niemieckich kolei państwowych, na którym wzorowano się, budując parowóz Ty23, 5-rzędowy.

Widzimy tu, że nowy kocioł daje ogólnie o 10°C niższą temperaturę przegrzania od kotła normalnego, przy tem samym natężeniu pow. ogrzewanej kotła, t. j. 30—55 kg/m²/godz. Przebieg wzrostu temperatury przegrzania pary, w miarę wzrostu natężenia kotła, jest w obu kotłach podobny, lecz w nowym kotle o tyle korzystniejszy, że opadanie temperatury przegrzania pary przy natężeniu kotła powyżej 55 kg/m²/godz. występuje nieco później i powolniej, aniżeli w normalnym kotle. Wzrost natężenia kotła powyżej 55 kg/m²/godz. obniża w obu kotłach stopień przegrzania pary, co jest wielką ich wadą, gdyż wyznacza to granicę ekonomicznej pracy parowozu. Prawidłowo skonstruowany parowóz powinien wykazywać zwyżkę stopnia przegrzania pary w miarę wzrostu natężenia rusztu, którą możnaby unormować i uregulować w pożądaną stałą wysokość przez samoczynne otwieranie się klap, zamykających dolne płomieniówki.

Nowy kocioł Wagnera jest, jak widzimy, gorszy od normalnego, bo wytwarza parę o niższej temperaturze przegrzania.

Gdybyśmy w nim zastosowali elementy przegrzewacza o większej średnicy rur, a więc 6×30/38 mm zamiast 6×23/29 mm, i zasłonili dolne płomieniówki klapami, poprawilibyśmy odrazu ten kocioł, jak to z poprzednich wywodów wynika. Również kocioł normalny poprawi się, gdy mu dodamy klapy. Efekt jego będzie większy nawet bez zmiany elementów przegrzewacza, wskazuje na to bowiem obecna różnica temperatur spalin w dolnej części dymnicy. W parowozie Wagnera jest ona niższa niż w normalnym, t. zn. że, przy danym ciągu w kominie, znacznie więcej spalin przechodzi górą, aniżeli dołem; mniejsza waga spalin, przepływająca przez płomieniówki, oddała swe ciepło powierzchni ogrzewanej płomieniówek dość ekonomicznie, jednak w płomienicach oddają spaliny stosunkowo za mało ciepła powierzchni ogrzewanej kotła i przegrzewacza, właśnie dlatego, że mamy za duży wolny przekrój dla przepływu spalin i przewodność ciepła maleje. W porównywanym kotle sprawa temperatury spalin przedstawia się odwrotnie, co jest dowodem, że spalin zamało przepływa górą, i w płomieniówkach nie osiągamy należytego pochłaniania ciepła, dlatego wykazuje on wyższą temperaturę spalin uchodzących z płomieniówek. Ponieważ jednak ten kocioł, pomimo mniejszej wagi spalin, przepływającej przez płomienice, wykazuje o 10°C wyższą temperaturę

przegrzania przy takim samym natężeniu rusztu, możemy śmiało twierdzić, że ustosunkowanie jego wymiarów jest bardziej właściwe, wobec czego będzie łatwiej go poprawić, aniżeli nowy kocioł Wagnera, w którym, prócz dodania klap, potrzeba także zmienić wymiary rur przegrzewacza lub też do istniejących dodać kilka ciągów $\varnothing 23/29$ mm.

Powyższe wywody można stosować do parowozu Ty23 starej i nowszej konstrukcji. Tu należy podkreślić, że argumenty wysuwane w tym celu, by obalić potrzebę stosowania klap w dymnicy, mianowicie: „Kocioł nowy ma być tak zaprojektowany, aby nie potrzebował klap”, lub też: „Trzeba w dymnicy zastosować t. zw. „Petikoty”, aby rozdzielić ciąg komina w ten sposób, by górą przepływało więcej spalin, niż dołem”, wreszcie: „Sklepienie ogniowate w skrzyni ogniowej jest dostatecznym czynnikiem, aby przyczynić się do wydajnej zwyczajki stopnia przegrzania”; są tylko częściowo uzasadnione i są wynikiem zżycia się z dawnymi poglądami na pochłanianie ciepła przez powierzchnię ogrzewaną i niechęci do uznania trafności nowego, tak prostego i skutecznego rozwiązania.

Gdybyśmy chcieli zbudować nowy kocioł bez klap w dymnicy, wówczas musimy albo przewidzieć inne celowe urządzenie, o wiele kosztowniejsze i konstrukcyjnie trudniejsze do rozwiązania

nia od projektowanych klap, np. ruchomy przegrzewacz, wsuwalny do paleniska w chwili pracy pod parą i powracający do płomienic po zamknięciu przepustnicy, lub też zgodzić się z tem, że przy zmiennych warunkach pracy będziemy mieli zmienny stopień przegrzania pary, co będzie dowodem niedoskonałości przegrzewacza i przynosić musi straty eksploatacyjne.

Ważny wpływ pary wysoko przegrzanej na rozchód wody łatwo wykazać, przeliczając rozchód pary przy pracy pełnym ciśnieniem podczas jazdy z pociągiem o wadze 2150 t, na wzniesieniu 8‰ , z szybkością 16 km/g., stosując napełnienie cylindrów 70% oraz parę przegrzaną do 400°C w jednym, zaś do 300° w drugim wypadku. Otóż w obu wypadkach moc wyniesie 1495 KM, a objętość cylindrów, wypełniona parą—2373 m³/godz. Licząc zgrubsza, uwzględnimy ciężar 1 m³ pary o ciśnieniu 15 ata; przy 400°C przegrzania wynosi on 4,826 kg, zaś przy 300°C znacznie więcej, bo 5,773 kg. Wobec tego w pierwszym wypadku zużyjemy $2373 \cdot 4,826 = 11\,450$ kg, podczas gdy w drugim wypadku $2373 \cdot 5,773 = 13\,700$ kg pary, t. j. o 20% więcej. Zysk wysokiego przegrzania pary jest tu widoczny (pomijając możliwość zmniejszenia napełnienia).

Rozchód pary tu obliczony jest korzystniejszy od danych Referatu Doświadczalnego, wskazanych

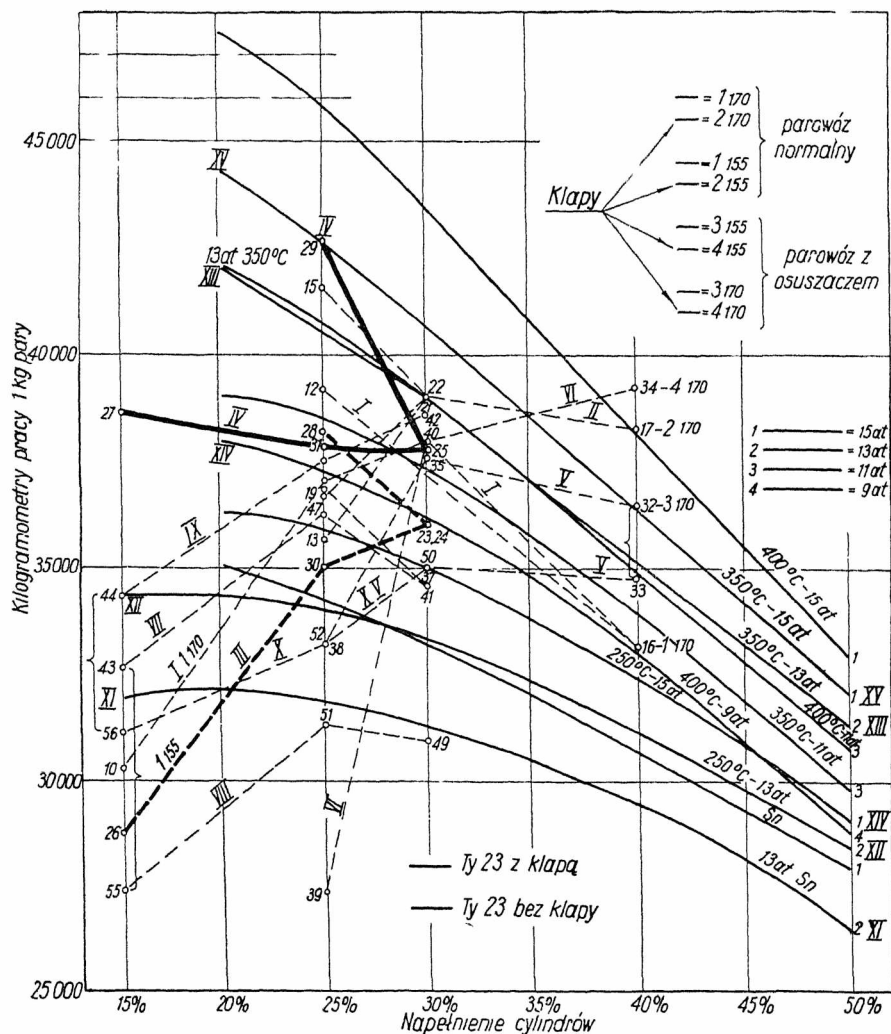
na początku artykułu. Pomimo stosowania 70% napełnienia, wyniesie on bowiem na KM godz. tylko $\frac{11\,450}{1\,495} = 7,66$

kg, zaś przy 300°C $\frac{13\,700}{1\,495} =$

$= 9,18$ kg, co odpowiada danym Referatu. Ten wynik daje nam niezbitą dowód, że *sprawność przegrzewacza Ty23 jest niedostateczna i trzeba przystąpić bezwzględnie do jego naprawy, przy okazji głównych napraw parowozów.*

Przy wielkim napełnieniu i wielkiej prędkości tłokowej występuje znaczne powiększenie stopnia wilgotności pary z powodu porywania wody z kotła. Nawet gdy zastosujemy przed ujściem pary do przepustnicy bardzo skuteczne odwadniacze pary, wilgotność pary wzrośnie do 15% i wyżej, wobec czego przegrzewacz musi mieć zdolność pochłaniania tak wielkiej ilości ciepła, by mógł usunąć całą wilgotność pary i prócz tego przegrzać ją wysoko.

Podane poprzednio dodatki konstrukcyjne, a więc przedłużenie elementów w stronę paleniska o dalszych 200 mm, zwiększenie średnicy rur przegrzewacza i zastosowanie klap w dymnicy, zaśła-



Rys. 4. Praca 1 kg pary (w kWh) w parowozie Ty23 normalnym z osuszaczem pary i klapami przy próbach Ref. Doświadczalnego.

niających dolne płomieniówki, otwieralnych samoczynnie w zależności od stopnia przegrzania pary, są to najprostsze, najtańsze i najskuteczniejsze czynniki do radykalnej poprawy przegrzewaczy istniejących już parowozów.

Dla ilustracji skuteczności działania tego urządzenia posłuży wykres rys. 4, przedstawiający pracę 1 kg pary (w kgm) w parowozie Ty23 Nr. 342 normalnym 4-rzędowym, z osuszaczem i klapami, przy próbach Referatu Doświadczalnego Ministerstwa Komunikacji w roku 1929. Widać że, że parowóz ten, przy zastosowaniu klap, dawał o 10% lepsze wyniki, co zgadza się również z wynikami osiągniętymi w normalnym ruchu kolejowym. (Przeł. Techn. 1931, str. 69, rys. 6 a i b).

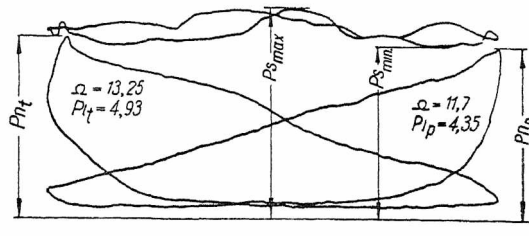
C. Warunki przepływu pary

Wymagana przez nas moc poprawionego parowozu, wynosząca 3000 KM przy 60 km/godz. prędkości jazdy, będzie osiągnięta, gdy $p_t = 6,6 \text{ kg/cm}^2$. Dane, przytoczone na początku artykułu, wykazują takie p_t przy 30-tu km/godz. przy 50% napełnienia i całkowicie otwartej przepustnicy. Widzimy tu, że już przy małej prędkości jesteśmy u granicy wydajności parowozu i że największą trudnością będzie wytworzyć tak wielkie średnie ciśnienie przy istniejących przekrojach dla przepływu pary od kotła do cylindrów. Obserwując dane na wykresach, uzyskanych przez W. S. A. B. P. podczas próbnych jazd zdawczych parowozów nowozbudowanych, doszliśmy do przekonania, że obecnie zastosowana przepustnica, o wolnym przekroju 113 cm^2 , jest za mała. Również przekrój rur dołotowych od skrzynki przegrzewacza do cylindrów o $\phi 130 \text{ mm}$, co odpowiada przekrojowi $132,7 \text{ cm}^2$, jest za mały i dlatego uzyskanie tak wielkiej mocy bez zmiany tych przekrojów w cylindrach i rurociągach, a w szczególności bez zmiany przepustnicy na podobną do stosowanej na parowozach Pu29, bez podniesienia ciśnienia w kotle przynajmniej do 20 atn nie będzie możliwe. Gdy przyjrzymy się wykresom indykatorowym ciśnień w skrzyni suwakowej (rys. 5) w kanale dopływowym pary z przegrzewacza spostrzeczemy wahania ciśnień w dość wielkich granicach, bo wynoszących nawet 2,5 atm.

Wahania te są wynikiem nierównomiernego odbioru pary z kotła, przy okresowym rozdziale dopływu pary przez suwaki prawej i lewej strony parowozu. Im większe będzie napełnienie cylindrów, tem jednostajniejszy będzie odpływ pary z kotła, jednak impulsy wahań w skrzyniach suwakowych wystąpią dosadniej, gdyż para napływać musi na jeden obrót koła naprzemian tam i napowrót, raz na przód tłoka strony prawej, następnie po $\frac{1}{4}$ obrotu kół do przodu tłoka strony lewej, potem znów do tyłu tłoka strony prawej i wreszcie w ostatniej $\frac{1}{4}$ obrotu do tyłu tłoka strony lewej. Skrzynia przegrzewacza ma wprawdzie połączenie obu rur odpływowych ze sobą, co może przyczynić się do częściowego wyrównania spadku ciśnień, jednak odległość tych ujść jest tak znaczna (około 2,5 m), przyczem przekroje rur zbyt małe, że efekt tego połączenia jest znikomy. Tu należałoby koniecznie przeprowadzić połączenie obu kanałów dopływowych u ujścia do skrzynki

suwakowej. Takie połączenie tworzyłoby rodzaj pierścieniowego rurociągu, którego zalety są powszechnie znane.

Drugim bardzo ważnym czynnikiem, powodującym spadek ciśnienia w skrzyni suwakowej, jest opór dla przepływu pary w przegrzewaczu. Aby te opory zmniejszyć, musiano by stosować elemen-



Rys. 5 Wykres indykatorowy parowozu Ty23 przy pracy z dyszą $\phi 155 \text{ mm}$ bez rozsiękacza.

$\varepsilon = 50\%$	$p_{s \max} = 13,3 \text{ ata}$	$p_{t s} = 4,64 \text{ ata}$
$\omega = 100\%$	$p_{s \min} = 10,6 \text{ ,}$	$V = 51,4 \text{ km h}$
$p_k = 13,0 \text{ ata}$	$p_{n p} = 10,6 \text{ ,}$	$N_t = 1808 \text{ KM}$
	$p_{n t} = 11,3 \text{ ,}$	$\text{temp} = 340^\circ$

ty podobne, jak w osuszaczu parowozu Ty23, typu W. S. A. B. P., t. j. złożone z dwóch równoległe ze sobą spojonych rurek w kształcie U. W tym wypadku wolny przekrój dla przepływu pary w przegrzewaczu wynosiłby $2 \cdot 40 \cdot 10,17 = 814 \text{ cm}^2$, przyczem para przepływałaby o połowę krótszą drogę niż w normalnych parowozach. Zwężenie strumienia pary występowałoby w rurze komunikacyjnej, której przekrój obecnie, przy $\phi 160 \text{ mm}$, wynosi 201 cm^2 ; drugie zwężenie wystąpi przy wejściu do skrzynki przegrzewacza, którego wolny przekrój wyniesie $40 \cdot 12,27 = 491 \text{ cm}^2$, trzecie — przy ujściu pary z elementów do skrzynki przegrzewacza, wreszcie w rurze dopływowej do cylindrów, która powinna być powiększona ze 130 mm na 180 mm średnicy, odpowiadającej 254 cm^2 wolnego przekroju. Dławienie przepływu pary w kanałach dopływowych będzie w obecnych wymiarach suwaków ($\phi 250 \text{ mm}$) dość znaczne, nie należałoby jednak tego wymiaru zwiększać, by nie powiększać przestrzeni szkodliwej w cylindrach. Przy wielkiej mocy będziemy musieli stosować większe napełnienia cylindrów i otwarcie kanału dopływowego wyniesie prawie tyle, co przekrój rury dołotowej.

Tak zmodyfikowany przegrzewacz może wykazać pewne braki przy małej pracy parowozu, gdy jednak zastosujemy kłapy w dymnicy, zasłaniające dolne płomieniówki, oraz przed ujściem pary nasyconej z rury komunikacyjnej do skrzynki przegrzewacza wstawimy odpowiedni rozbijak pary, przyczyniający się do równomiernego rozprowadzenia wody, zawartej w wilgotnej parze (patrz Przeł. Techn., 1931 r., str. 40), uzyskamy bardzo sprawny przegrzewacz.

D. Stawidło

Stawidło i rozrząd pary wypadłoby właściwie zmienić na wentylowe. Uznając jednak słuszność wywodów H. Mestre'a, autora artykułu: „Rozrząd Walschaert'a dla lokomotyw o wysokiej prędkości“, podanego w skrócie w Nr. 10 (78) Przeglądu zagranicznego piśmiennictwa kolejowego (dod. do Inżyniera Kolejowego Nr. 10 z r. 1933, str. 127), zgodzimy się z tem, że suwak tłokowy jest bardzo

odpowiednim organem rozrządu pary i dlatego nie należy go zmieniać, tylko odpowiednio jego wymiary poprawić

E. Ciśnienie pozatłokowe

Ciśnienie pozatłokowe zawisłe jest: 1) od wagi użytej pary przy napełnianiu cylindrów i ich objętości; 2) od oporu dla przepływu pary po otwarciu suwaka: a) w kanałach odpływowych cylindrów oraz b) dyszy w kominie.

Im wyżej przegrzaną parę użyjemy do napełnienia cylindrów przy danym napełnieniu i ciśnieniu wlotowym, tem mniejsza będzie waga pary i tem mniejsze ciśnienie końcowe rozprężania w tej samej objętości cylindra. Im szybciej otwarty będzie kanał odpływowy i im większy będzie jego wolny przekrój, tem szybciej odpłynie para nazewnątrz i tem mniejsze będzie przeciwcisnienie na tłok.

Zmniejszenie przeciwcisnienia na tłok, powodowane zwiększeniem wolnego przekroju dyszy odlotowej, jest dopuszczalne w granicach prawidłowego wytwarzania pary przez kocioł. Również stopień przegrzania pary odlotowej ma wielki wpływ na wielkość przeciwcisnienia na tłok, gdyż para wysoko przegrzana ma wielką objętość przy ciśnieniu wlotowym, wobec tego, przy danym przekroju dyszy, występować będzie bardzo wielka prędkość pary, do której wywołania potrzeba znacznej różnicy ciśnień.

Celem zmniejszenia przeciwcisnienia musimy mieć z jednej strony, to jest przy dopływie do cylindrów, bardzo wysoko przegrzaną parę, zaś z drugiej, t. j. przy jej odpływie, po wyjściu z cylindra, jak najniższą temperaturę. Ten ostatni warunek ma jeszcze drugie ważne znaczenie, szczególnie dla parowozów, mianowicie, że ciąg w kominie zależy nie tylko od wymiarów komina, wagi pary i prędkości jej wypływu przez dyszę, ale także od stopnia wilgotności pary. Para nasycona, użyta w kominie parowozu, daje lepszy wynik w tych samych wymiarach komina, niż para przegrzana. Zjawisko to należy przypisać termicznemu działaniu spalin na parę przy zetknięciu i mieszaniu się w kominie. Im więcej wilgoci zawiera para odlotowa, tem więcej ciepła odbierze ta wilgoć ze spalin. Spaliny zmniejszają swą objętość i powodują szybki napływ za niemi dalszych spalin.

Celem zmniejszenia przeciwcisnienia na tłok stosownie do powyższych wywodów, W. S. A. B. P. zaprojektowała dla parowozu Ty23 komin podwójny, spotykany coraz częściej na nowszych parowozach w Ameryce, a także i w Europie. W projekcie tym zastosowano dwa kominy poza sobą ustawione, każdy o \varnothing 350 mm, oraz dwie dysze \varnothing 120 mm.

Prócz tego W. S. A. B. P. zaprojektowała chłodnicę pary odlotowej, umieszczoną tuż za ujściem pary odlotowej z cylindrów, właśnie w celu skutecznego powodowania zmniejszania się objętości przy wylocie pary za wysoko podgrzanej.

Gdy para odlotowa uchodzi z cylindrów np. z temperaturą 180°C i ma wówczas ciśnienie 0,8 atn, to do ochłodzenia np. 18 000 kg pary/godz. potrzeba odprowadzić $18\ 000 \cdot 80 \cdot 0,55 = 792\ 000$ Kal ciepła, które może być użyte do podgrzania wody, znajdującej się w tendrze. Ponieważ tender Ty23 ma pojemność 22,5 m³ wody, przeto, gdybyśmy to

ciepło odprowadzili do wody w tendrze, nagrzała by się ona o 36°C wyżej od normalnej temperatury, np. do 50°C, t. j. temperatury nieszkodliwej dla inżektorów, czyli ciepło to może być odzyskane w kotle. Bliższe szczegóły tego rozwiązania będą podane później. 1 kg pary o ciśnieniu 0,8 atn, o temperaturze 180°C, zajmuje objętość, według wykresu entropowego iS, 2,70 m³, gdy zachowa się ją w tej samej objętości i ochłodzi do 100°C, jej ciśnienie spadnie do 0,63 atn, czyli przeciwcisnienie zmniejszy się o 0,17 kg/cm². Warunki odbioru ciepła będą bardzo korzystne, gdyż para przepływa ze znaczną prędkością w przeciwnym kierunku i woda z tendra przepływa z normalną temperaturą ołoczenia, około 10°C.

F. Smarowanie

Zastosowanie pary wysoko przegrzanej do pracy parowozów Ty23 wykazało, że średnia temperatura, mierzona przy pracy z parą 400°C, w przestrzeni szkodliwej cylindra wynosiła, przy długotrwałej jeździe, tylko 290°C, przy napełnieniu cylindrów 40%, czyli używanie normalnego smaru dla pary przegrzanej jest bez obawy spalania dopuszczalne.

Przyczyny powstawania osadów szukano w zastosowaniu pary przegrzanej, gdy tymczasem ma ono swe źródło w użyciu suwaka tłokowego i zasysaniu spalin z dymnicy o wysokiej temperaturze, które z powodu niedostatecznej wielkości przekrojów wyrównywaczy ciśnień i możliwości sprężania tych spalin podnoszą swoją temperaturę jeszcze wyżej i powodują koksowanie smaru, gdy jest brak powietrza, zaś zapalenie smaru, gdy świeże powietrze dostanie się do cylindrów po zamknięciu przepustnicy.

Celem przeciwdziałania tym szkodliwym zjawiskom, należy stosować rozpylanie emulsji smaru z parą nasyconą. Rozpylacze Friedmanna i Wordliczki mogą być nadal używane, powinny być jednak uzupełnione przyrządem, sterującym dopływ tej emulsji pomiędzy pierścienie uszczelniające. Uzyska się w ten sposób doprowadzanie smaru do miejsc ulegających tarcia, smar odcięty będzie od bezpośredniego zetknięcia z parą przegrzaną, dopływać w małej ilości, lecz na każdy skok tłoka, a więc będzie możność ustalenia racjonalnego rozchodu smaru i uzyskania jego oszczędności.

Smar powinien być doprowadzany stycznie do obwodu cylindrów, by nawet przy obecnym, chaotycznym smarowaniu mieć lepszy pożytek. Bliższe szczegóły tych rozważań znajdują się w czasopiśmie „Inżynier Kolejowy” z roku 1930 Nr. 10, w artykule: „Krytyczny pogląd na przyrządy, służące do smarowania tłoków i suwaków parowej maszyny parowozów”.

Wentyle ssące powietrze do cylindrów, umieszczone na skrzyni suwakowej, należy skasować. Wentyle systemu Inż. Łopuszyńskiego, opisane w „Przeł. Techn.” z roku 1926, str. 712, powinny być w ten sposób przerobione, by przy ich uruchamianiu, wykorzystując próżnię wytwarzaną w przegrzewaczu, nie otwierały one przewodu komunikującego z atmosferą, tylko ruchem swoim podbiły zaworek parowy o większym przekroju, przez który para z kotła napłynie w większej ilości do cylindra, niż to obecnie się dzieje. Para wilgotna jest

najlepszym bezpiecznikiem przeciw zapalaniu się smaru.

Wyrównywacze ciśnień muszą być zwiększone. Ponieważ przyczyniają się one do zwiększenia przestrzeni szkodliwej cylindrów, więc racjonalniej byłoby zastosować suwaki dzielone systemu Nicolai lub Trofimowa (Technika Parowozowa, 1934 r., str. 19 lub 20).

G. Mechaniczne opalanie parowozów

Do wytworzenia pary, potrzebnej dla mocy średniej 3000 KM, zużyć musimy węgla 2583 kg/godz. Ta waga przekracza możliwość ręcznej obsługi, nawet przy użyciu dwóch palaczy. Musimy więc wprowadzić samoczynne opalanie parowozów. Z dwóch nadających się do tego celu urządzeń, mian.: 1) opalania pyłem węglowym i 2) opalania węglem podawanym mechanicznie i rozrzuconym po powierzchni rusztu (t. zw. stokerów), należałoby wybrać to drugie, t. j. stokerów, albowiem nie czynią one parowozu niezdolnym do pracy w razie jakiegoś defektu w tym urządzeniu i mogą dać równie wysokie korzyści materialne, jak pył węglowy; urządzenie to jest także i proste i bezpieczniejsze. Ponieważ stokerów wprowadzono na próbę w dwu parowozach Ty23 i wykazały one swoją rentowność, należałoby przystąpić bezzwłocznie do wyposażania parowozów w to urządzenie.

W Polsce zastosowano system stokerów „Duplex”, pochodzenia amerykańskiego, który nie jest jeszcze u szczytu swego rozwoju i wymaga wielu poprawek, łatwo osiągalnych. Należałoby wyzys-

kać obecny okres kryzysu do wybadania tych innowacji, by w momencie wprowadzania hamulców samoczynnych do pociągów towarowych, co już w Polsce rozpoczęto, być przygotowanym do sprawnego i ekonomicznego ruchu ciężkich pociągów.

Kończąc te wywody o brakach i potrzebach parowozu Ty 23, pragnąłbym bardzo zainteresować niemi szerszy ogół fachowców celem podjęcia rzeczowej dyskusji na ten temat i wyjaśnienia, że wobec tak ważnych zadań nie mamy czasu na zajmowanie się rozwiązaniami połowicznymi, jak, oddymiacz Langera i t. p. ulepszone urządzenia, bo one parowozu nie wzmocnią, tylko go raczej osłabiają.

Moyens de l'acroissement de la puissance des locomotives type Ty23 des Chemins de Fer d'Etat Polonais jusqu'à 3000 CV sans grands changements de leur construction

R é s u m é

L'auteur attire l'attention sur la nécessité de posséder les locomotives d'une puissance d'au moins 3000 CV pour le transport des marchandises à grande vitesse, ce que fait le but de l'introduction des freins continus par les Chemins de Fer d'Etat Polonais. Ensuite il soumet à l'analyse le récent type de la locomotive polonaise Ty 23 pour les trains de marchandises et montre la possibilité de la reconstruire pour qu'elle pourrait développer une puissance de 3000 CV. L'analyse du travail de la chaudière, du surchauffeur, de la distribution de la vapeur, de la graissage, du tirage et de l'alimentation en combustible, ainsi que des moyens de la reconstruction de ces éléments, permet arriver à la conclusion que la reconstruction, proposée par l'auteur, pourrait être effectuée à l'occasion de la réparation capitale des locomotives en question.

Organizacja gospodarki narzędziowej*)

Inż. J. Tichy, SIMP

Ustalenie niezbędnego stanu ilościowego. — Utrzymanie dobrego stanu jakościowego. — Kontrola ilościowa wydanych narzędzi. — Rozdział kosztów zużycia narzędzi. — Wydział obsługi narzędziowej. — Kolejność postępowania przy reorganizacji gospodarki narzędziowej.

Ustalenie stanu ilościowego.

Ze względów finansowych ważne jest, aby stan ilościowy narzędzi nie był nadmierny, nadmiar oznacza bowiem niepotrzebne unieruchomienie kapitału. Z drugiej strony zbyt mały stan ilościowy powoduje również straty, gdyż oczekiwanie na narzędzia może przyczynić się do przekroczenia terminu wykonania zamówienia i zapłacenia kary, dalej pilne, krótkoterminowe zamówienie narzędzi podnosi ich cenę, ze względu na niemożność zanalizowania rynku, zebrania ofert, wreszcie na krótki czas dostawy. Ustalenie właściwego stanu ilościowego jest więc zagadnieniem ważnym, a dla produkcji bardzo zmiennej — szczególnie trudnym.

System rocznego planu zakupów narzędzi nie jest rozwiązaniem celowym, gdyż plan ten oparty być musi li tylko na cyfrze przeciętnej, średniego z pewnego okresu, zużycia ilościowego narzędzi oraz na bardzo luźnych przewidywaniach, mających często mało wspólnego z późniejszą rzeczywistością.

Dużo właściwszym i lepiej do konieczności życiowych przystosowanym sposobem jest t. zw.

„wieczna (stała) inwentaryzacja”. Polega ona na ustaleniu dla każdego rodzaju narzędzia pewnego minimum zapasu magazynowego; z chwilą zmniejszenia się zapasu do minimum magazyn obowiązuje jest wystąpić z zapotrzebowaniem ustalonej ilości. W tym wypadku, nawet gdyby jakiś rodzaj czy typ narzędzia został całkowicie wyeliminowany z użycia, maximum ilości pozostałej nie mogłoby w żadnym wypadku przekroczyć sumy minimum i partii zakupowej. Poza to mamy i tę korzyść, że przy dobrze określonym minimum rzadko może zająć wypadek chwilowego braku jakiegoś narzędzia.

Najważniejszym czynnikiem przy tym sposobie jest ustalenie dla każdej pozycji inwentarza narzędziowego minimum zapasu i wielkości partii zakupowej, oraz stałe kontrolowanie tych cyfr i oparte na doświadczeniu i statystyce ich poprawianie.

I. Minimum z a p a s u należy określić na podstawie:

a) ustalonego doświadczeniem przeciętnej czasu dostawy narzędzia (od chwili zapotrzebowania);

b) średniego zużycia ilościowego w okresie np. rocznym.

*) Dokończenie do str. 472 w zes. 12 z r. b.

Im czas dostawy krótszy i mniejsze zużycie, tem minimum będzie mniejsze.

Jeżeli zużycie roczne oznaczymy literą a , czas dostawy t miesięcy, to minimum zapasu wyrazi się wzorem

$$\text{zap}_{\min} = k \frac{a \cdot t}{12} \text{ szt.},$$

w którym k oznacza współczynnik bezpieczeństwa, który powinien równać się conajmniej 1,1 przy ilościach od 20 szt. wzwyż, a najmniejsze minimum zapasu narzędzi zużywalnych wynosić musi 2 szt.

II. Wielkość partji zakupowej ustala się na podstawie średniego zużycia rocznego, obliczonego z okresu conajmniej lat trzech, przyczem częstotliwość zakupu nie powinna być większa niż 3—4 razy rocznie; częstotliwość większa podniosłaby nadmiernie koszt dokonywania zakupów.

Wielkość partji zakupowej można wyrazić wzorem

$$\text{partja} = z \frac{a}{n} \text{ szt.},$$

w którym a oznacza średnie zużycie roczne, n częstotliwość zakupu w okresie rocznym, a z współczynnik, który powinien być tem większy, im mniejsze jest zużycie narzędzi w ciągu roku.

Odnośnie przyrządów pomiarowych podkreślić należy, że przy produkcji nieustalonej w małych serjach i indywidualnej konieczne jest posiadanie dużej ilości suwmiarek, mikromierzy i sprawdzianów nastawnych.

Celem stałego sprawdzania dokładności ustalonego minimum i partji, pożądana jest perjodyczna, np. co 6 miesięcy, analiza statystyczna ilości zużywanego i częstotliwości zakupów oraz jakości, przez stałe sprawdzanie co tydzień $\frac{1}{26}$ ogólnej ilości kart inwentarzowych.

W celu kontroli sprawności funkcjonowania gospodarki narzędziowej winny być obliczane zestawienia miesięczne i roczne wartości gotówkowej:

- posiadanego inwentarza narzędziowego;
 - przyrostu inwentarza, tak zakupowego, jak i wykonywanego;
 - zmniejszenia inwentarza przez kasację narzędzi i przyrządów zużytych i zniszczonych, przez odstąpienie lub sprzedaż niepotrzebnych lub przestarzałych, —
- i to oddzielnie dla inwentarza normalnego i oddzielnie dla specjalnego.

Roczny przyrost wartości inwentarza normalnego powinien być bliski zeru, albo usprawiedliwiony zwiększeniem lub zmniejszeniem produkcji, wzgl. usprawnieniem gospodarki narzędziowej.

Roczny przyrost wartości inwentarza specjalnego winien być utrzymany w umiarkowanych granicach, względnie być usprawiedliwiony zmianą przedmiotu produkcji. W razie produkcji różnorodnej zmiennej przyrost ten będzie znaczny.

Utrzymanie dobrego stanu jakościowego.

W celu utrzymania najwłaściwszego stanu jakościowego, winien być przewidziany odbiór narzędzi tak zakupowanych, jak i wykonywanych, i to nie tylko pod względem dokładności wykonania,

ale i pod względem jakości materiałów (surowców). W tym celu należy przedewszystkiem opracować warunki techniczno-odbiorcze wszystkich typów narzędzi. Dla ustabilizowania jakości posiadanych narzędzi, należy je zakupywać stale u tych samych producentów.

Następnie — po każdym zwrocie z pracy (z warsztatu) każde narzędzie czy przyrząd musi być sprawdzane i zakwalifikowane na: dobre, do ostrzenia, do naprawy lub do kasacji.

Na półkę może być położone tylko narzędzie, zakwalifikowane jako dobre. Narzędzie zakwali-

WARSZTAT 3		L 47	Str. pos księgi mat.
NARZĘDZIA I PRZYRZĄDY USZKODZONE.			
SYMBOL NFA 123		szt. 2	
Robotnik Smoleński F		Nr marki 3173	
RODZAJ USZKODZENIA		PRZYCZYNA	
Normalne zużycie . . . <input type="checkbox"/>	NA- RZĘDZIE	Żle zahartowane . . . <input type="checkbox"/>	pękł. w hartow . . . <input checked="" type="checkbox"/>
Stepione . . . <input type="checkbox"/>		wada materiału . . . <input type="checkbox"/>	
Pęknięte . . . <input type="checkbox"/>		nieodpow. mat. . . <input type="checkbox"/>	
Złamane . . . <input checked="" type="checkbox"/>			
Odkruszone . . . <input type="checkbox"/>	PRZYRZĄD	wadliwy . . . <input type="checkbox"/>	uszkodzony . . . <input type="checkbox"/>
Wylamane zęby . . . <input type="checkbox"/>			
Pokaleczone . . . <input type="checkbox"/>	MATERJ OBRA- BIANY	twardy . . . <input type="checkbox"/>	nieuwaga . . . <input type="checkbox"/>
Zatarte . . . <input type="checkbox"/>		zawily . . . <input type="checkbox"/>	
Zagubione . . . <input type="checkbox"/>		miejsce utwardz. . . <input type="checkbox"/>	niedbalstwo . . . <input type="checkbox"/>
		WINA RO- BOTNIKA	celowe uszkodz. . . <input type="checkbox"/>
POTRĄCENIE Z WYPŁATY		UZNAĆ	
Zł — gr		WYPOŻYCZ. <input type="checkbox"/>	WARSZTAT <input checked="" type="checkbox"/>
Jako kara . . . <input type="checkbox"/>	% wartości . . . <input type="checkbox"/>	MAG. CENTR. <input type="checkbox"/>	STRATY <input checked="" type="checkbox"/>
	% napr. uszkodz. . . <input type="checkbox"/>		DOSTAWCĘ <input checked="" type="checkbox"/>
MAJSTER: <i>Jh</i>	KIEROWNIK WTA: <i>Jh</i>		
Pisad wyraźnie	Data 26. V 1935	Data 5. 3 1935	KIEROWNIK W NARZ: <i>W</i>

Rys. 3 Wzór protokołu uszkodzenia narzędzia

fikowane do ostrzenia, czy naprawy, wróci na półkę dopiero po sprawdzeniu wyostrzenia, wzgl. naprawy.

Dla narzędzi pomiarowych, jak suwmiarki, mikromierze, sprawdziany szczękowe, czy tłoczko-
we, musi być przewidziana okresowa kontrola ich stopnia zużycia, dla sprawdzenia czy nie przekroczyły ustalonych tolerancji zużycia.

Dla sprawdzenia stanu jakościowego przyrządów czy narzędzi, których kontrola jest trudna do przeprowadzenia pomiarami bezpośrednimi (np. stemple i matryce do tłoczenia), wielką wygodą jest wprowadzenie zwyczaju oddawania do wypożyczalni nie tylko przyrządu, ale i ostatniej sztuki nim wykonanej.

Niejednokrotnie zdarza się, że narzędzia i przyrządy, zwracane z pracy do wypożyczalni, wykazują uszkodzenia niezasadnione normalną pracą. Przyczyny tego rodzaju uszkodzeń bywają rozmaite: nieodpowiedni, czy też wadliwy materiał narzędzia, niewłaściwa konstrukcja narzędzia, wzgl. przyrządu obróbkowego, wreszcie niedbalstwo, nieumiejętność, lekkomyślność, a nawet czasami zła wola rzemieślników.

Aby umożliwić usunięcie przyczyn uszkodzenia narzędzi, należy je w każdym poszczególnym wypadku wyjaśnić i utrwalić w protokole uszkodzenia (rys. 3). Wypożyczalnia winna przyjmować inwentarz narzędziowy uszkodzony tylko łącznie z protokołem, podpisanym przez kierownika warsztatu. Za uszkodzenia wynikłe z niedbalstwa, czy lekkomyślności należy winnych rzemieślników karać pieniężnie drobnymi sumami.

Wypożyczanie inwentarza narzędziowego przez robotników pomiędzy sobą powinno być zabronione.

Kontrola ilościowa wydanych narzędzi.

Wypożyczalnia narzędzi musi posiadać sposób stwierdzenia w każdej chwili, jakie narzędzia są w użyciu i kto je posiada. Takich sposobów istnieje cały szereg, — wymienię tylko kilka ważniejszych.

Najbardziej rozpowszechniony jest system „pojedynczych marek”. Każdy robotnik, z chwilą przyjęcia do pracy, otrzymuje określoną ilość (np. 10) metalowych blaszek, t. zw. marek, na których wybity jest jego numer. Gdy otrzymuje z wypożyczalni jakiegokolwiek narzędzia, oddaje wzamian tyle marek, ile otrzymał narzędzi. Pracownik wypożyczalni wiesza marki na haczykach, znajdujących się w przegrodach, z których wyjęte były narzędzia. Przy zwrocie narzędzi robotnik otrzymuje zpowrotem swoją markę.

W wypadku oddawania przez wypożyczalnię narzędzia do ostrzenia czy naprawy, na haczyku wiesza się markę naprawczą odmiennego kształtu, którą wzamian za narzędzia oddaje majster izby narzędziowej.

W ten sposób suma narzędzi w przegrodzie, w kontroli oraz ilości marek tak robotniczych, jak i naprawczych, wiszących na haczyku, musi się zgadzać z ilością ewidencyjną narzędzi. Wymiana narzędzia stępionego na wyostrzone skuteczniana jest bez żadnych manipulacji markami.

System ten ma dwie zasadnicze wady. Mianowicie bardzo utrudnione jest sprawdzanie, jakie narzędzia ma robotnik, i trzeba jego samego o to zapytać, a jeżeli narzędzie zagubił i nie pamięta jakiego było rodzaju i wielkości, trzeba przejrzeć wszystkie marki, wiszące we wszystkich przegrodach.

Drugą wadą jest nieświadomość wypożyczalni, jaką ilość narzędzi posiada każdy robotnik.

System „podwójnych marek” omija obydwie trudności. W tym wypadku, obok marek robotniczych i naprawczych, istnieją specjalnego kształtu marki narzędziowe, na których wybity jest symbol narzędzia. Każda przegroda zaopatrzona jest w dwa haczyki: jeden na marki robotnicze, wzgl. naprawcze, drugi — na którym wisi zawsze tyle marek narzędziowych, wiele znajduje się narzędzi w przegrodzie.

Pozatem w wypożyczalni, w bliskości okienka, przez które wydawane są narzędzia, wisi tablica z haczykami, każdy z nich opatrzony jest numerem robotnika, kilka haczyków przewidzianych jest dla narzędziowni.

Gdy robotnik otrzymuje z wypożyczalni narzędzie, oddaje swoją markę robotniczą, którą pracownik wypożyczalni wiesza w przegrodzie, równocześnie zdejmując z drugiego haczyka markę narzędziową i wiesza ją na tablicy robotników. Każdej chwili więc magazynier wypożyczalni może sprawdzić, — przy pomocy tablicy robotniczej, — jaką ilość narzędzi posiada każdy robotnik i jakie to są narzędzia. W wypadku nadmiernej ilości narzędzi wypożyczonych, wzgl. potrzeby narzędzia w innym miejscu pracy, magazynier może interwenjować.

Pożytecznym zwyczajem jest wprowadzenie marek robotniczych o zwiększonej wartości, których wartość przedstawia nie jedno, lecz więcej, np. 2, 3, 5, wzgl. 10. Marki te są zwykle większe od normalnych robotniczych i odróżnione obcięciem krawędzi, pozatem mają na odwrocie wybitą cyfrę, określającą wartość ich w sztukach (np. „5 szt.”). Stосуje się je w wypadku narzędzi bardzo szybko zużywalnych, gdy z zasady wydaje się od razu kilka sztuk, stanowiących komplet (np. 10 wiertel spiralnych \varnothing 0,5 mm). Zwracam uwagę, że, w wypadku wydawania zespołów, cały zespół stanowi wartość jednej marki robotniczej normalnej — jednosztukowej (np. frez zespołowy, przyrząd z luźnymi częściami).

Stosowany bywa jeszcze system marek datowych w celu określenia długości czasu przetrzymywania narzędzia przez robotnika. Wypożyczalnia posiada w tym wypadku marki z cyframi od „1” do „31”. W chwili wydawania narzędzia, na tablicy robotników wiesza się markę datową, odpowiednią do dnia w miesiącu. Robotnik obowiązany jest zwrócić narzędzie najpóźniej ostatniego dnia miesiąca, w którym je pobrał, względnie pierwszego dnia miesiąca następnego zgłosić się do wypożyczalni i zamienić markę datową na inną, z cyfrą „1”.

System ten ma wprawdzie swoje zalety, lecz jest niewygodny, bo każdego 1-go tłum robotników zgłasza się do wypożyczalni, co powoduje stratę ich czasu oraz chwilowe przeciążenie personelu wypożyczalni. Bywa on też stosowany rzadko i przeważnie częściowo — tylko do narzędzi o dużej wartości, często też bywa on łączony z systemem podwójnych marek.

Dla produkcji ciągłej, wzgl. w dużych serjach, stosowany jest często system kwitowy. Przy tym systemie wypożyczalnia wydaje narzędzia tylko na kwity wypisane i cyfrowane przez majstra lub brygadzystę. System ten jest wygodny tylko w tych wypadkach, gdy narzędzie wypożyczone zwracane jest po pełnym jego zużyciu. Dla produkcji w małych serjach i indywidualnej (pojedynczej) zupełnie się nie nadaje, gdyż ze względu na częste zwroty narzędzi majster musiałby zamienić się w biuralistę, lub mieć specjalnego pisarza.

W naszych przeciętnych warunkach najodpowiedniejszy byłby w stosunkach między robotnikiem a wypożyczalnią system podwójnych marek; a w stosunkach między wypożyczalniami a magazynem centralnym — system kwitowy dla narzędzi prowadzonych stale przez wypożyczalnię i ewentualnie system podwójnych marek — dla na-

rzędzi i przyrządów pobieranych na krótki przebieg czasu.

Narzędzia na książki. Ogólnie jest w zwyczaj, że narzędzia niezbyt kosztowne codziennego użytku wydawane są robotnikowi na stałe. W tym wypadku komplet koniecznych narzędzi winien być wydany tylko za kwitem majstra albo brygadzysty, unika się w ten sposób pobierania nadmiernej ilości i nie koniecznych narzędzi. Pobrane na stałe narzędzia wpisuje się do książeczki narzędziowej robotnika, przechowywanej przez niego, oraz do karty ewidencyjnej robotnika, przechowywanej w wypożyczalni. Gdy narzędzie zużyje się, robotnik wymienia je na takie same nowe, przyczem żaden nowy zapis w książeczce, ani w karcie ewidencyjnej nie jest potrzebny, bo stan narzędzi posiadanych przez robotnika nie uległ zmianie.

Nadmienić należy, że wskazane jest wydawać narzędzia wyłącznie na podstawie list narzędzi, poźatem wypożyczalnia ma prawo tylko wymiany narzędzi niezdatnych do pracy na narzędzia identyczne w dobrym stanie. W ten sposób rzemieślnik, posiadając tylko narzędzia przewidziane, jest zmuszony wykonywać swą robotę ściśle według instrukcji, a nie „swoim” sposobem.

Odpowiedzialność za stan narzędzi wypożyczonych winna być doprowadzona do możliwie najniższego szczebla, a więc:

- w wypadku pracy indywidualnej — do rzemieślnika,
- w wypadku pracy brygadowej — do brygadzysty,
- w wypadku pracy na automatach i rewolwerówkach — do ustawiacza.

Rozdział kosztów zużycia narzędzi.

Ideałem rozdziału byłoby bezpośrednie odosobienie równowartości faktycznego stopnia zużycia na poszczególne roboty, wzgl. zamówienia. Niestety, praktyczne przeprowadzenie takiego bezpośredniego obciążenia jest możliwe tylko przy produkcji ciągłej lub w bardzo wielkich serjach, kiedy narzędzie wzięte raz do pracy wykonywa ją aż do zupełnego zużycia.

Przy produkcji w serjach mniejszych, a tembardziej nieustalonych, jedno narzędzie służy często do wykonywania różnych robót przy rozmaitych wyrobach. W tym wypadku bezpośrednie obciążanie zamówień czy robót byłoby zbyt uciążliwe i zbyt kosztowne. Dlatego też kosztem zużycia normalnego inwentarza narzędziowego obciążać należy koszty produkcji drogą pośrednią, mian. przez odosobienie na koszty warsztatowe komórki produkcyjnej, która te narzędzia zużywa.

Stosowane są dwa systemy obciążania kosztów wspólnych (warsztatowych). W pierwszym obciążenie dokonywane jest dopiero po wyeliminowaniu narzędzia wskutek jego całkowitej niezdatności do pracy. Ten system ma dwie wady:

- 1) buchalteryjna wartość inwentarza narzędzi jest 100-procentowa, nawet w wypadku jego 95-procentowego zużycia;
- 2) eliminacja jest w praktyce przeważnie niejednostajna, tak że obciążenie zużyciem narzędzi może być bardzo wysokie w jednym miesiącu, a

bardzo niskie w innym, czego wynikiem jest niewłaściwa wycena kosztów produkcji.

Dla uniknięcia tych wad należy koszty warsztatowe obciążać co miesiąc przybliżonem średnim zużyciem, a równocześnie taką samą sumą, uznawać rachunek kapitału amortyzacyjnego narzędzi. W ten sposób, z jednej strony, ujednostajnimy obciążanie kosztów warsztatowych zużyciem narzędzi, a z drugiej strony — z chwilą eliminacji narzędzia — równowartość jego znajdziemy w kapitale amortyzacyjnym, z którego będzie można nabyć narzędzia nowe.

W systemie drugim, obciążanie dokonywane jest już przy pobieraniu narzędzia z centralnego magazynu narzędzi do wypożyczalni lokalnej (czyli do warsztatu). System ten unika obydwóch wad systemu pierwszego, gdyż wartość buchalteryjna narzędzia jest doprowadzona do zera z chwilą rozpoczęcia zużywania go, a i pobieranie narzędzi jest przeważnie równomierne, szczególnie przy stosowaniu „wiecznego inwentarza”.

Przy produkcji w małych serjach i nieustalonych, zmiennej, zdarza się, i to głównie z narzędziami i przyrządami rzadko używanymi, których więc magazyn posiada niewielkie ilości, że jedno narzędzie jest używane przez kilka komórek produkcyjnych. Zużyciem takiej grupy narzędzi powinny być obciążone koszty warsztatowe wszystkich tych komórek, i to w stosunku proporcjonalnym do korzystania i zużywania. Ustalenie procentu zużycia przez każdą z tych komórek będzie oczywiście przybliżone.

Zużyciem specjalnego inwentarza narzędzi obciążać należy bezpośrednio zamówienia, i to

- 1) przy zamówieniach jednorazowych — całkowitą wartością, niezależnie od stopnia zużycia;
- 2) przy zamówieniach powtarzających się — w przybliżonym stosunku procentowym do zużycia (w związku z wielkością zamówienia i normami zużycia).

Przy produkcji ciągłej i wielkich serjach, rozdział kosztów zużycia inwentarza normalnego może i powinien być traktowany identycznie, jak inwentarza specjalnego.

Zachodzi jeszcze pytanie, jaką wartość należy brać pod uwagę — wartość stałą nabycia, czy zmienną rynkową. Zasadniczo, ze względu na konkurencję, należałoby obciążać wartością rynkową, a różnice wartości odnosić na rachunek strat i zysków, jest to jednak procedura niewygodna i kosztowna, ze względu na konieczność ciągłej buchalteryjnej zmiany wartości nabycia, szacowania i t. p. Przeważnie stosowane jest obciążanie kosztem nabycia, tembardziej, że wahania cen rynkowych są naogół niewielkie.

Koszty ostrzeżenia i napraw inwentarza normalnego powinny być odnoszone na koszty warsztatowe tej komórki produkcyjnej, która dany inwentarz narzędzi używa; inwentarza zaś specjalnego — na to zamówienie, przy którego wykonywaniu narzędzia zostały stepione.

Za straty w narzędziach, wynikłe nie z winy komórki produkcyjnej, lecz z winy wadliwego materiału czy wykonania, należy obciążać rachunek dostawcy, względnie rachunek strat i zysków, w każdym razie nie koszty warsztatowe.

Rozdział kosztów administracyjnych gospodarki narzędziowej powinien być ujęty w ogólnym systemie kosztów wspólnych, bliżej go więc nie poruszam.

Wydział obsługi narzędziowej.

Z tego powierzchownego przeglądu zagadnień widzimy, że sprawa gospodarki narzędziowej nie jest ani prosta, ani łatwa; gdybyśmy zaczęli docierać głębiej, okazałoby się, że odkryjemy jeszcze cały szereg zagadnień szczegółowych, trudnych do zdecydowania, bo doskonale rozwiązanie jednego szczegółu będzie często sprzeczne z dobrem rozwiązaniem innego, a dla ogólnej harmonii musi być znaleziona droga pośrednia.

Trudności są tem większe, że inwentarz narzędziowy nie jest produkcją, — a tylko kosztuje, zysków bezpośrednich nie przynosząc. Nastawienie więc naczelnych organów kierowniczych jest naogół negatywne do wprowadzania ulepszeń czy unowocześnień inwentarza pozornie martwego, bezpośrednio nieprodukcyjnego, bo to oznacza wydatek, zwykle wysoki, a korzyści czy oszczędności są przeważnie w dalekiej perspektywie, wyraźne i jasne udowodnienie ich jest często niezmiernie trudne.

Aby gospodarka narzędziowa większego zakładu weszła na właściwe tory, konieczne jest scentralizowanie jej w specjalnym wydziale, nieobarczonym trudnościami i kłopotami bezpośredniej produkcji. Załatwianie spraw związanych z gospodarką narzędziową samodzielnie, i siłą faktu rozmaitości, przez poszczególne komórki produkcyjne jest przeważnie niewłaściwe, zawsze niejednolite i niesystematyczne, a w rezultacie kosztowne. Według danych z przemysłu niemieckiego, samodzielny wydział obsługi narzędziowej z centralnym magazynem i kilku wypożyczalnią lokalnymi opłaca się już w zakładach zatrudniających powyżej 300 robotników.

Centralizacja obsługi narzędziowej nie wyłącza inicjatywy poszczególnych warsztatów czy biur technicznych, przeciwnie — inicjatywa taka znajdzie w centralnym organie wybitne poparcie, z tem zastrzeżeniem, że projekt, czy wniosek, będzie zanalizowany z punktu widzenia całokształtu gospodarki narzędziowej. Szansa zrealizowania będzie większa, gdyż centralny organ może mieć dużo więcej motywów przekonywujących niż pojedyncza — jedna z kilku — komórka produkcyjna.

Do zakresu pracy Wydziału Obsługi Narzędziowej należałby całokształt gospodarki narzędziowej, a więc:

1) dobór inwentarza narzędziowego (znormalizowanego):

- a) ustalanie minimalnego koniecznego asortymentu typów (znormalizowanie inw. narz. w obrębie wytwórni),
- b) stałe celowe unowocześnianie inwentarza narzędziowego;

2) zaopatrzenie, a więc utrzymanie stanu ilościowego inwentarza narzędziowego na właściwym poziomie:

- a) zapotrzebowanie we właściwym czasie,

b) ustalanie minimum ilościowego i wielkości partii zakupowych,

c) analiza nadmiernego zużycia, wzgl. przyczyn nieużytkowania posiadanych typów czy wymiarów (brak zużycia);

3) utrzymanie stanu jakościowego inwentarza na odpowiednim poziomie:

a) odbiór narzędzi, przyrządów, sprawdzianów, tak zakupywanych, jak wykonywanych,

b) przegląd i kwalifikowanie narzędzi i przyrządów, zwracanych po użyciu,

c) perjodyczna kontrola sprawdzianów i przyrządów pomiarowych,

d) doprowadzanie narzędzi tępych, zepsutych, uszkodzonych do stanu gotowości do pracy,

e) eliminowanie (kasacja) inwentarza zużytego i przestarzałego;

4) magazynowanie i konserwacja inwentarza narzędziowego:

a) administracja centralnego magazynu narzędziowego,

b) ewidencja posiadanego inwentarza;

5) wydawanie narzędzi do pracy:

a) administracja lokalnych wypożyczalni narzędzi,

b) ewidencja wypożyczonego inwentarza;

6) czuwanie nad właściwą amortyzacją inwentarza narzędziowego i sprawiedliwym rozdziałem kosztów zużycia;

7) ścisła współpraca z Biurem Metod i Biurem Konstrukcji Narzędzi i Przyrządów, wzajemna wymiana poglądów, uzgadnianie konstrukcyj narzędzi i przyrządów;

8) ścisła współpraca z Biurem Zakupów, wybór firm dostarczających i t. p.;

9) stała współpraca z warsztatami i Biurem Fabrykacyjnym:

a) stała wymiana poglądów,

b) analiza zapotrzebowań narzędzi pod względem kształtu, jakości i ilości,

c) analiza projektów odnośnie metod administracyjnych i t. d.

Wydział Obsługi Narzędziowej jest odpowiedzialny za jakość wszystkich narzędzi i przyrządów dostarczanych, wykonywanych i używanych, musi zatem mieć do dyspozycji wykwalifikowanych kontrolerów-odbiorców i mieć wszelkie ułatwienia w korzystaniu z laboratorium, tak pomiarowego, jak i chemicznego.

Zadania tego wydziału rozpatrywane były dotąd z punktu widzenia eksploatacji inwentarza narzędzi. Jeżeli wytwórnia prowadzi również produkcję narzędzi do własnego użytku, warsztat wytwarzający narzędzia może podlegać Wydziałowi Obsługi Narzędziowej (przy dużej skali produkcji narzędzi nie jest to jednak pożądane).

Zatem do zakresu pracy Wydziału Obsługi Narzędziowej może jeszcze należeć:

10) wykonywanie narzędzi:

a) prowadzenie warsztatu narzędziowego,

b) normalizacja elementów składowych inwentarza narzędziowego,

- c) normalizacja surowców do prod. narzędzi,
- d) normalizacja tarcz szlifierskich do produkcji narzędzi.

**Kwalifikacje kierownika
wydziału obsługi narzędziowej.**

Z ogólnego przeglądu zakresu pracy tego wydziału widzimy, że kierownikiem musi być człowiek o wielu kwalifikacjach, a więc:

- a) musi być wytrawnym praktykiem narzędziowym, znać pracę narzędzi w różnych warunkach, aby móc określić, jakie typy narzędzi mogą w określonych warunkach oddać największe usługi,
- b) musi dobrze orjentować się w rynku narzędziowym, tak krajowym, jak i obcym,
- c) musi posiadać umysł analityczny, aby móc przeprowadzić normalizację i zmniejszenie asortymentu bez szkodliwych dla produkcji skutków,
- d) musi posiadać duże wyczucie i zdolności organizacyjne, aby skomplikowaną sieć szczegółów powiązać w całość sprawnie pracującą, aby wybrać najodpowiedniejsze dla lokalnych warunków drogi,
- e) musi być obznajmiony z księgowaniem, ze względu na dopilnowanie słusznego rozdziału kosztów zużycia, na odpisy amortyzacyjne, na prowadzenie różnych wykazów i statystyk,
- f) musi posiadać zdolności wymowy, argumentacji, jasnego rozumowania, aby móc przekonać konserwatywnie nastrojone kierownictwo naczelne o celowości i konieczności wydatków.

**Kolejność postępowania przy reorganizacji
gospodarki narzędziowej.**

A. Okres wstępny:

1) prowizoryczne ustalenie symbolistyki (1, 2, 3 i 4-ty znak);

2) uporządkowanie posiadanych narzędzi, przyrządów i sprawdzianów i sporządzenie ich ilościowego wykazu według prowizorycznej symbolistyki z podaniem zużycia rocznego dla każdej pozycji — średniego z ostatnich co najmniej 3-ich lat. Dla inwentarza niedającego się ująć w ramy symbolistyki prowizorycznej należy sporządzić wykaz oddzielny, grupując poszczególne pozycje według podobieństwa typów, wzgl. przeznaczenia;

3) przeprowadzenie analizy poszczególnych pozycji tych wykazów, ustalenie typów, rodzajów i wymiarów koniecznych, oraz ich ilości, wreszcie zacydowanie, które narzędzia są zbędne, ze względu na możliwość ich zastąpienia wybranymi;

4) ustalenie definitywne symbolistyki (na podstawie dokonanej analizy) przez uzupełnienie znakami 5-ym i 6-ym oraz przez dodanie nowych grup narzędziowych, a więc ustalenie typów normalnych dla danej produkcji, chociaż nienormalnych według P. N.

B. Okres przygotowawczy:

1) ustalenie ogólnych ram administracji, po zanalizowaniu obecnych trudności i niedomagań przy

współdziałanie dotychczasowych organów gosp. narz. Ustalenie rutyny wszystkich nadających się do tego elementów, zanalizowanie dotychczasowych formularzy i ustalenie nowych („co i jak“ wykonywać);

2) ustalenie ilościowe personelu oraz określenie funkcji (kto będzie wykonywać);

3) wybór pomieszczeń, przygotowanie projektów przeróbek i wyposażenia; wykonanie preliminarza kosztów inwestycji, kosztów reorganizacji, wreszcie kosztów stałych gosp. narz. („gdzie“ wykonywać);

4) uzyskanie zgody naczelnego kierownictwa, koniecznych kredytów oraz zapewnienie specjalnych praw na okres przygotowawczy i okres reorganizacji;

5) ustalenie programu kolejności prac i terminów ich wykonania (kiedy wykonać).

C. Okres organizowania (prześciowy):

1) dobór personelu i przeinstruowanie go;

2) kolejne wprowadzanie w życie nowej rutyny według programu;

3) stopniowe uzupełnianie inwent. narz. nowymi typami i nowymi ilościami, ustalonymi w okresie wstępnym;

4) powolne wycofywanie typów i wymiarów zbędnych.

W okresie tym należy działać powoli, aby przez zbyt szybkie tempo nie doprowadzić do zaburzeń równowagi i dużych trudności, wzgl. nawet zahamowania produkcji.

Przy reorganizacji konieczna jest duża ostrożność, gdyż łatwo wpaść można w przesadę, a trzeba mieć zawsze w pamięci, że celem organizacji gospodarki narz., jak zresztą każdej organizacji, jest korzystny wynik ostateczny — zmniejszenie ogólnego kosztu produkcji. Organizator musi dążyć do uproszczeń i oszczędności, tej oszczędności właściwej — przesadna oszczędność często bywa rozrzutnością. Wynik finansowy samej tylko gospodarki narzędziowej nie jest jeszcze sprawdzianem oszczędności, można ją dopiero osądzić, analizując całokształt wszystkich kosztów produkcji.

● ● ●

**L'organisation de la gestion des outils pour
le travail des métaux**

(suite et fin)

R é s u m é :

Dans la présente partie de son étude l'auteur s'occupe des questions suivantes: détermination de la quantité nécessaire des divers outils à magasin, contrôle qualitative de l'inventaire des outils, contrôle quantitative des outils délivrés du magasin, répartition des coûts des outils sur les commandes (travaux exécutés). Ensuite l'auteur décrit l'organisation rationnelle du Service des Outils, énumère ses fonctions et indique les qualités requises du Chef de ce Service. A la fin il donne la liste et la successivité des travaux conduisant à la réorganisation de la gestion des outils pour le travail des métaux.

DZIAŁ NORMALIZACYJNY

KOMISJA Techniki Warsztatowej Polskiego Komitetu Normalizacyjnego na posiedzeniach w dniu 11 kwietnia 1935 r. oraz 27 czerwca 1935 r. przyjęła podane niżej projekty norm narzędziowych, które są do przejrzenia dla osób zainteresowanych w Biurze Polskiego Kom. Normalizacyjnego (Warszawa, Elektoralna 2) od godz. 8-ej do 15-ej (w soboty do godz. 13 min. 30).

Termin zgłaszania sprzeciwów do tych projektów upływa dnia 1-go listopada 1935 r.

Z wymienionych niżej projektów norm zostały ogłoszone w druku do ogólnej krytyki w Nr. 13-14 „Przeglądu Mechanicznego” z r. 1935 projekty: PN/N-20, 21, 40, 41 (gwintowniki do gwintów metrycznych i Whitworth'a do otworów przelotowych i ślepych) oraz w Nr. niniejszym projekty: PN/N-816 — Znakowanie i klasyfikacja narzędzi do skrawania metali. Gwintowniki normalne; PN/N-230 — Narzynki okrągłe do gwintów metrycznych; PN/N-813 — Znakowanie i klasyfikacja narzędzi rzemieślniczych. Pilniki i tarniki normalne; PN/N-1005 — Pilniki ślusarskie. Płaskie. Główne wymiary.

Spis projektów

zatwierdzonych na posiedzeniu dn. 27.VI.1935 r.

- PN/N- 813 Znakowanie i klasyfikacja narzędzi rzemieślniczych. Pilniki i tarniki normalne.
1000 Przekroje stali na pilniki i tarniki.
1001 Nacięcia pilników normalnych.
1005—1011 Pilniki ślusarskie (płaskie, okrągłe, półokrągłe, kwadratowe, trójkątne, płaskie, szpiczaste, nożowe).
1015—1019 Pilniki ciężkie (płaskie, okrągłe, półokrągłe, kwadratowe, trójkątne).
1025 Pilniki zdzieraki. Płaskie.
1028 „ „ Kwadratowe.
1035 „ do pił. Płaskie.
1039 „ „ Trójkątne.
1042 „ „ „ „ zaokrąglone.
1045 Tarniki płaskie do drewna.
1046 „ okrągłe do drewna.
1047 „ półokrągłe do drewna.
1050 „ kowalskie do kopyt.
1051 „ szewckie zwykłe.

Spis projektów

zatwierdzonych na posiedzeniu dn. 11.IV.1935 r.

- PN/N-816 Znakowanie i klasyfikacja narzędzi do skrawania metali. Gwintowniki normalne.
20 Gwintowniki do gw. metrycznego. Ręczne do otworów przelotowych.
21 Gwintowniki j. w. Ręczne do otworów ślepych
22 Gwintowniki j. w. Ręczne do nakrętek.
23 Gwintowniki j. w. Ręczne do narzynek okrągł.
24 Gwintowniki j. w. Ręczne do narzynek dzielonych.
25 Gwintowniki j. w. Maszynowe do nakrętek.
40 Gwintowniki do gw. Whitworth'a. Ręczne do otworów przelotowych.
41 Gwintowniki j. w. Ręczne do otworów ślepych.
42 Gwintowniki j. w. Ręczne do nakrętek.
43 Gwintowniki j. w. Ręczne do narzynek okrągł.
44 Gwintowniki j. w. Ręczne do narzynek dzielonych.
45 Gwintowniki j. w. Maszynowe do nakrętek.
50 Gwintowniki do gwintowania rurowego Whitworth'a. Ręczne.
51 Gwintowniki j. w. Do narzynek okrągłych.
52 Gwintowniki j. w. Do narzynek dzielonych.
53 Gwintowniki j. w. Maszynowe.

- 230 Narzynki okrągłe do gwintów metrycznych.
231 „ „ „ „ Whitworth'a.
235 „ „ „ „ metrycznych.
236 „ „ „ „ Whitworth'a.
250 Oprawki do „ narzynek okrągłych.
253 „ „ „ „ dzielonych.
147 Pogłębiacze stożkowe do otw. na łby stożkowe wkrętów z gw metrycznym. Prowadzenie w otworze przejściowym.
148 Pogłębiacze j. w. Prowadz. w otworze pod gwint.
149 Pogłębiacze j. w. Prowadz. w otw. przejściowym.
150 Pogłębiacze j. w. Prowadz. w otworze pod gwint.
204 Rozwiertaki stożkowe. Wielokątne o zbieżności 1 : 50.
361a Pierścienie do oprawek i do trzpieni do frezów.

POLSKIE NORMY

Termin zgłaszania sprzeciwów*): 1 listopada 1935 r.

Pilniki ślusarskie Płaskie Główne wymiary		PN N-1005 Projekt			
<p>Przykład oznaczenia pilnika ślusarskiego płaskiego o długości $L = 300$ mm i nacięciu grubym (R):</p> <p>Pilnik ślusarski płaski równiak 300 — PN/N-1005 lub symbolicznie RPSa 300 R</p>					
mm					
Oznaczenie L	b	h	h_1	l	l_1 max.
100	12	2,5	1,5	40	15
(125)	15	3,5	2	45	
150	18	4,5	2,5	50	
200	22	6	3,5	60	20
250	26	7	4	70	
300	31	8	4,5	80	
350	36	9	5	90	25
400	40	10	5,5	100	
450	43	12	6	110	
500	50	13	6,5	120	

Materiał: stal węglowa.
Wymiary ujęte w nawiasy nie są zalecane.
Szerokie boki nacięte są podwójnie krzyżowo.
Z wąskich boków nacięty jest tylko jeden — nacięciem pojedynczym.
Pilniki powyższe posiadają nacięcia: grube (R), średnie (P), drobne (G) i bardzo drobne D.

PN	
Nacięcia pilników normalnych	N - 1001
Znakowanie i klasyfikacja narzędzi rzemieśln.	N - 813
Pilniki i tarniki normalne	

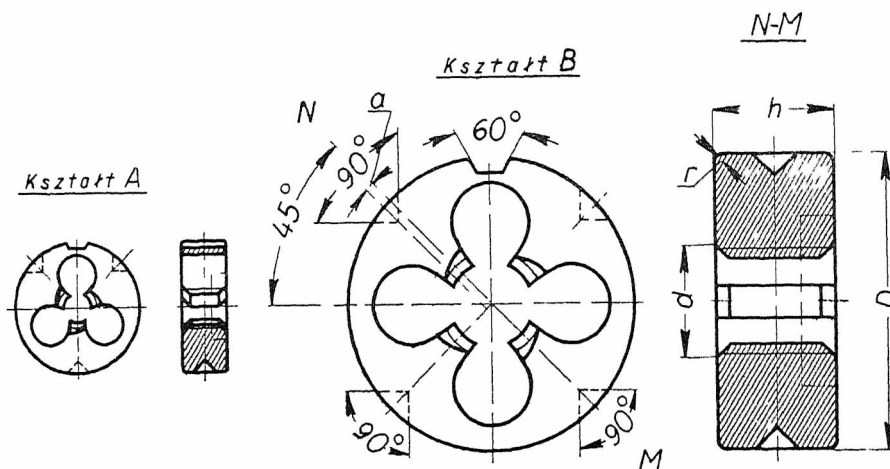
Przedruk dozwolony tylko za zgodą Polskiego Komitetu Normalizacyjnego, Warszawa, Elektoralna 2. Copyright by PKN.

* Do Biura Polskiego Komitetu Normalizacyjnego, Warszawa, Elektoralna 2.

Narzynki okrągłe do gwintów metrycznych

Główne wymiary

PN
N-230
Projekt



Przykład oznaczenia narzynki okrągłej do gwintu M 10:

Narzynka okrągła M 10 PN/N-230 lub symbolicznie NHNa M 10.

Przykład oznaczenia narzynki okrągłej do gwintu drobnozwojowego 2 M 10×1:

Narzynka okrągła M 10×1 PN/N-230 lub symbolicznie NHNb M 10×1.

mm

Do gwintów		nominalny	D*)		h	a	r	Kształt
metrycznego PNG-205-206	drobnozwojowego 2 PNG-208		Wymiary graniczne					
				górny	dolny			
1 — 2,6	1 — 2,6	16	15,950	15,840	5	0,5	0,5	A
3 — 6	3 — 6	20	19,935	19,805	7	0,8	0,8	
7 — 9	7 — 9	25	24,935	24,805	9	1,0	0,8	
10 — 11	10 — 11	30	29,935	29,805	11	1,2	1,0	
—	12 — 14	38	37,92	37,76	14	1,2	1,0	
12 — 14	—	45	44,92	44,76	18	1,5	1,5	
16 — 20	—	55	54,9	54,71	22	1,8	1,5	B
—	16 — 20	65	64,9	64,71	25	1,8	2,0	
22 — 24	20 — 24	75	74,9	74,71	30	2,0	2,0	
—	27 — 36	90	99,88	89,66	36	2,0	2,0	
27 — 36	—							
39 — 42	39 — 42							
—	45 — 52							
45 — 52	—							

Symboliczne oznaczenie
NHNa M NHNb M × skok

*) Wymiary graniczne D wykonać według układu tolerancji średnic dla wałków d 11

Materiał: stal narzędziowa.

Średnica d powinna być nieco większa od zewnętrznej średnicy gwintu.

W narzynkach do gwintów o małych średnicach zaleca się robić z jednej strony wytoczenie (na rysunku zaznaczone linią przerywaną) tak, żeby długość gwintu narzynki wynosiła ok. 6 zwojów.

Ilość ostrzy oraz kształt otworów odprowadzających wióry — dowolne.

Znakowanie: podać rodzaj i wymiar gwintu.

Narzynki przecięte wykonywa się na żądanie.

Narzynki okrągłe do gwintów Whitworth'a
Oprawki do narzynek okrągłych
Gwint metryczny
Gwint metryczny drobnozwojowy 2

PN
N-231
N-250
G-205 i 206
G-208

NHN

*) Do Biura Polskiego Komitetu Normalizacyjnego, Warszawa, Elektoralna 2.

Znakowanie i klasyfikacja narzędzi do skrawania metali

Gwintowniki normalne

PN

N - 816

Projekt

Copyright by PKN. Przedruk dozwolony tylko za zgodą Polskiego Komitetu Normalizacyjnego, Warszawa, Elektoralna 2.

M Do gwintu metrycznego			D Do gwintu metrycznego drobnozwojowego.												
a	Ręczne do otworów przelotowych		a	Ręczne do otworów przelotowych											
b	Ręczne do otworów ślepych		b	Ręczne do otworów ślepych											
c	Ręczne do nakrętek		c	Ręczne do nakrętek											
d	Ręczne do narzynek niedzielonych		d	Ręczne do narzynek niedzielonych											
e	Ręczne do narzynek dzielonych		e	Ręczne do narzynek dzielonych											
f	Maszynowe do nakrętek		f	Maszynowe do nakrętek											
g	Maszynowe długie		g	Maszynowe długie											
h			h												
W Do gwintu Whitworth'a			R Do gwintu Whitworth'a do rur												
a	Ręczne do otworów przelotowych		a	Ręczne											
b	Ręczne do otworów ślepych		b	Do narzynek niedzielonych											
c	Ręczne do nakrętek		c	Do narzynek dzielonych											
d	Ręczne do narzynek niedzielonych		d	Maszynowe											
e	Ręczne do narzynek dzielonych		e												
f	Maszynowe do nakrętek		f												
g	Maszynowe długie		g												
h			h												
S Specjalne.			<p>Wielkość gwintownika określa się oznaczeniami gwintu.</p> <p>Przykład znakowania: Gwintownik do gwintu metrycznego drobnozwojowego M20 × 1,5, ręczny do nakrętek otrzymuje symbol</p> <p style="text-align: center;">MGDc M20 × 1,5</p> <table border="1" style="margin-left: auto; margin-right: auto;"> <tr> <td colspan="2">PN</td> </tr> <tr> <td>N - 804</td> <td></td> </tr> <tr> <td>N - 806</td> <td></td> </tr> <tr> <td>N - 804a</td> <td></td> </tr> <tr> <td>G - 202</td> <td></td> </tr> </table> <p>Znak. i klas. narzędzi do skraw. metali: Narzędzia normalne Podz. na grupy Znakowanie inwentarza narzędziowego Gwinty. Skróty oznaczeń</p>			PN		N - 804		N - 806		N - 804a		G - 202	
PN															
N - 804															
N - 806															
N - 804a															
G - 202															
a	Masz. do narzyn. dziel. z gw. metrycznym														
b	Masz. do narzyn. dziel. z gw. metr. drobnozwoj.														
c	Masz. do narzyn. dziel. z gw. Whitworth'a														
d	Masz. do narzyn. dziel. z gw. Whitw. do rur														
e	Do przyrządów Pearns'a, z gw. metrycznym														
f	z gw. metr. drobnozwoj.														
g	z gw. Whitworth'a														
h	z gw. Whitw. do rur														

NG

Znakowanie i klasyfikacja narzędzi rzemieślniczych
Pilniki i tarniki normalne

PN
N-813
Projekt

S Ślusarskie ¹⁾				C Ciężkie ²⁾								
a	Płaskie		L	a	Płaskie		L					
b	Okrągłe		"	b	Okrągłe		"					
c	Półokrągłe		"	c	Półokrągłe		"					
d	Kwadratowe		"	d	Kwadratowe		"					
e	Trójkątne		"	e	Trójkątne		"					
f	Płaskie szpiczaste		"	f								
g	Nożowe		"	g								
h				h								
k				k								
Z Zdzieraki.				P Do pił								
a	Płaskie		L	a	Płaskie		L					
b	Płaskie wiążkowe		"	b								
c	Półokrągłe wiążkowe		"	c	Półokrągłe		"					
d	Kwadratowe		"	d								
e				e	Trójkątne ostre		"					
f				f								
g				g								
h				h	Trójkątne zaokrąglone		"					
k				k								
T Tarniki ³⁾				<p>Oznaczenie: L -- długość części naciętej pilnika.</p> <p>W pilnikach normalnych stosuje się następujące nacięcia: w zdzierakach (Z) b. grube; w równiakach (R) grube; w półgładzikach (P) średnie; w gładzikach (G) drobne i w podwójnych gładzikach (D) b. drobne.</p> <p>Przykład znakowania: Pilnik ślusarski okrągły, gładzik o długości L = 200 mm otrzymuje symbol</p> <p style="text-align: center;">RPSb 200 G</p> <div style="border: 1px solid black; width: 50px; height: 30px; margin: 0 auto; text-align: center; line-height: 30px;">RP</div> <p>Uwaga: Stosowanej dawniej nazwy:</p> <table style="margin-left: 20px;"> <tr> <td>¹⁾ „tuzinowe”</td> <td rowspan="3" style="font-size: 2em; vertical-align: middle;">}</td> <td rowspan="3">należy unikać.</td> </tr> <tr> <td>²⁾ „maszynowe”</td> </tr> <tr> <td>³⁾ „raszple”</td> </tr> </table>				¹⁾ „tuzinowe”	}	należy unikać.	²⁾ „maszynowe”	³⁾ „raszple”
¹⁾ „tuzinowe”	}	należy unikać.										
²⁾ „maszynowe”												
³⁾ „raszple”												
a	Płaskie do drewna		L									
b	Okrągłe do drewna		"									
c	Półokrągłe do drewna		"									
d												
e	Trójkątne do drewna		"									
f	Kowalskie		"									
g	Szewckie zwykłe		"									
h	Szewckie tyżkowe		"									
k												

Przedruk dozwolony tylko za zgodą Polskiego Komitetu Normalizacyjnego, Warszawa, Elektoralna 2. Copyright by PKN.

PRZEGLĄD CZASOPISM TECHNICZNYCH

CZĘŚCI MASZYN

Panewki z brązu ołowiowego.

Stosowane w lotnictwie panewki, wylane białym metalem o osnowie cynowej, w mocniejszych silnikach zużywają się zbyt prędko, co zmusza do poszukiwań bardziej odpowiednich materiałów. W silnikach samochodowych dobrym stopem łożyskowym okazał się brąz ołowiowy, zawierający $60 \div 70\%$ Cu, $30 \div 40\%$ Pb, $1,5 \div 2,5$ Sn, względnie Ni, w panewce stalowej. Panewki wylane takim stopem są więcej wytrzymałe, posiadają lepszą przewodność cieplną oraz większą wytrzymałość na zmęczenie. Pociąga to za sobą zmniejszenie długości panewki. Wadą tego materiału jest mniejsza plastyczność niż metali łożyskowych o osnowie cynowej, co wymaga dokładniejszego montażu oraz dobrego smarowania. Jeżeli bowiem pomiędzy panewką a wał w niej pracujący dostanie się jakakolwiek twarda cząstka, to nie zostanie ona wgnieciona w metal łożyskowy, lecz może łatwo spowodować zniszczenie wału. Poza tym warstwa brązu musi ściśle i odpowiednio mocno być połączona z wkładką stalową. Przy dużych naciskach jednostkowych albo przy uderzeniach nieściśle przylegająca warstwa brązu może zupełnie odzielić się od panewki stalowej, co pociągnie za sobą zniszczenie panewki. Od brązu wymaga się zwartości, braku pęknięć, wciągnięć i innych podobnych wad oraz odpowiedniej mikrobudowy, odpowiadającej warunkom pracy. Ołów musi być rozłożony równomiernie w postaci drobnych wtrąceń. Topienie brązu odbywa się w ropowych piecach tyglowych, przyczem najpierw ładuje się miedź, która topi się pod 10—15 mm warstwą węgla drzewnego. Po przegrzaniu miedzi do 1150—1200°C dodaje się ołowiu stopionego w innym tyglu. Następnie przeprowadza się odtlenienie miedzią fosforową, dobrze się miesza za pomocą pałeczki grafitowej i po usunięciu węgla odlewa się w bloczki w temp. 1060°C. Praktyka wykazała, iż wylanie panewek metalem przetopionym po raz drugi daje wyniki lepsze, aniżeli wylanie metalem stapianym. Zalewanie odbywa się w temperaturze 1050°C. Sam proces zalewania nastęrcza bardzo poważne trudności, szczególnie co do otrzymania równomiernego rozłożenia ołowiu.

Sposób zalewania pojedynczych panewek w chwili obecnej można uważać za rozwiązany pomyślnie, jest on jednak kosztowny; poszukuje się więc metody, umożliwiającej masowe zalewanie. Dotychczas metody takiej nie znaleziono.

Zalewanie pojedynczych panewek sposobem odśrodkowym nie udaje się, natomiast dobre wyniki miała dać metoda natryskowa Shoop'a. (Litiejnoje dieło. 1935, zes. 2).

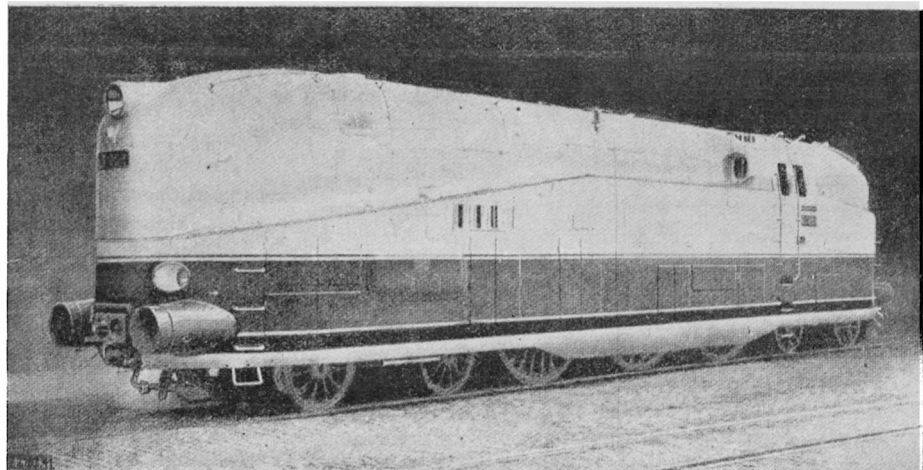
E. P.

KOLEJNICTWO

Nowe parowozy niemieckie na Wystawie w Norymberdze.

Z powodu upływającego w r. b. 100-lecia kolejnictwa niemieckiego, którego początki sięgają daty 7 grudnia 1835 r., gdy otwarto ruch na pierwszej kolei niemieckiej pomiędzy

miastami Norymbergą a Fürth (7 km), zorganizowano w lipcu r. b. w Norymberdze wystawę kolejową w nowozbudowanej towarowej hali przeładunkowej na dworcu przetokowym w tem mieście. Wystawa ta uwidoczniła stan obecny kolejnictwa niemieckiego, zaś z jego stopniowym rozwojem zapoznają bogate, świeżo jeszcze uzupełnione zbiory norymberskiego Muzeum kolejowego (Muzeum to, znajdujące się w gmachu o powierzchni wystawowej 8 500 m², obchodziło równocześnie swój 50-letni jubileusz). Na Wystawie pokazano szereg najnowszych urządzeń w rozmaitych działach kolejnictwa, jak maszyny Adrema do mechanicznego przenoszenia wyliczonych frachtów (w dziale „ruch towarowy”), najnowsze urządzenia do obsługi parowozów (zaopatrywanie w węgiel, usuwanie żużla i t. p.) — w dziale „ruch i prowadzenie pociągów”, urządzenia do kontrol: ruchu — w dziale „sygnalizacja i elektryfikacja” i t. d. Największe jednak zainteresowanie wzbudza dział lokomotyw, mieszczący się w dwu wiel-



Rys. 1. Nowy szybkobieżny parowóz kolei niemieckich, który osiągnął szybkość 177 km/h przy obciążeniu 130 t.

kich halach o długości 300 m, po 30 m szerokości. Charakterystyczną cechą tego działu wystawy jest, że wówczas, gdy podobny pokaz, zorganizowany przed 5 laty w Berlinie z okazji Wszechświatowej Konferencji Energetycznej, przeprowadzony był pod znakiem lokomotyw wysokoprężnych, to wystawa tegoroczna wysuwa na czoło najwyższe osiągnięcia szybkości jazdy. Pod tym względem pierwsze miejsca przypadają dwu parowozom o osłonach opływowych, które osiągnęły rekordowe wyniki, rozwijając 183 i 177 km/godz. Pierwszy z nich (firmy Borsig), o dość niezgrabnym wyglądzie, opisany jest w „Przeł. Mech.” (p. rys. 11 na str. 465 w zes. 12 z r. b.), ma układ osi 2-3-2, ciężar całkowity 127 t, ciężar napędny 56 t, ciśnienie pary 20 at, pole rusztu 4,8 m², całk. pow. ogrzew. 255 m², pow. przegrzew. 90 m²; kocioł wytwarza 15 000 kg/h pary, parowóz zaś rozwija 2 800 KM w 3-ch cylindrach po 450 mm średnicy. Osie parowozy są obustronnie hamowane naciśkiem równym 180% naciśku osi, prócz dwu osi wózka przedniego, które dla większego bezpieczeństwa ruchu są hamowane naciśkiem 50% pierwsza, 80% druga. Tender jest również całkowicie osłonięty. Rozstaw osi skrajnych wynosi 22 075 mm, wobec czego możliwe jest obracanie parowozu na obrotnicach o średnicy 23 m.

Druga szybkobieżna lokomotywa (rys. 1), budowy wytw. Henschel, o zgrabniejszych kształtach, waży 128 t (ciężar napędny 55 t), rozwija zaś tylko 1600 KM przy 20 at. Wobec

symetrycznego ustroju, parowóz ma jednakowe własności jezdne przy ruchu w obu kierunkach, więc nie wymaga obracania. Dla ułatwienia obsługi przy jeździe budką maszynisty naprzód, umieszczono wszystkie przyrządy kontrolne i ruchowe także na tylnej ścianie budki. Parowóz łączy się z czterema wagonami szczególnie lekkiej budowy zapomocą sprzęgów automatycznych, łączących zarazem sieć hamulcową, ogrzewniczą i elektryczną. Dla zmniejszenia oporu powietrza, wagony połączone są harmonją i stopnie są podnoszone i chowane.

Trzeci interesujący parowóz wystawiła firma Krupp. Jest to lokomotywa typu 2-3-1, o ciśnieniu pary 25 at. Wobec wyższego ciśnienia wykonano kocioł o rurach 6,8 m długości ze stali chromowo-molibdenowej; z tegoż materiału zbudowano komorę paleniskową, gdyż przy wykonaniu jej z miedzi wypadłoby zastosować tak grube ściany, że ucierpiałoby bardzo na tem przewodzenie ciepła przez nie. (VDI, 1935 r., zes. 28, str. 861 i nast.).

cz.

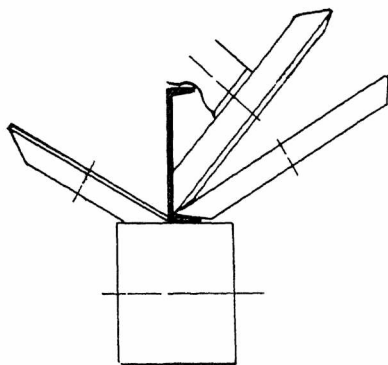
MOTORYZACJA

Podstawy programu motoryzacji Niemiec.

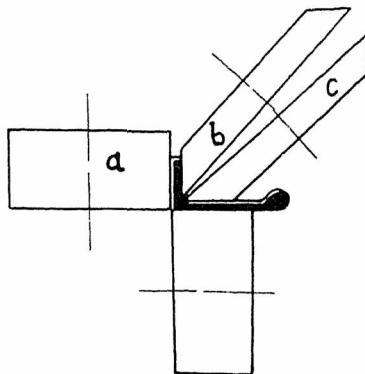
Z okazji opisu tegorocznego Salonu Samochodowego w Berlinie*), czasopismo „La Technique Moderne“ podaje szczegóły programu motoryzacji kraju, wprowadzanego obecnie w życie w Niemczech — jak wiadomo — z wielkiem powodzeniem. Motoryzacja, poza swym celem bezpośrednim, a więc zaopatrzeniem kraju w sięgającą w miliony ilość pojazdów mechanicznych, stanowiących doniosłe narzędzie komunikacji i ważny środek pomocniczy w zakresie obrony kraju, wiąże się ze zwalczaniem bezrobocia oraz z nowymi dochodami Skarbu.

Program motoryzacji Niemiec opiera się: 1^o na znanych dekreтах o obniżce podatków, obejmującej zniesienie opłat od pojazdów nowych, odliczanie od dochodu podlegającego opodatkowaniu kwot wydanych na zakup samochodów (i in. inwestycje), subwencje dla przedsiębiorstw komunikacyjnych, dalej na dekreтах ujednostajniających ceny paliwa w całym kraju i in., 2^o na szerokim programie budowy pojazdów popularnych, wytwarzanych masowo, w cenie ok. 1500 mk., 3^o na szerokim programie budowy dróg samochodowych; 4^o na łącznym administrowaniu kolejami i ruchem samochodowym, dla uzgodnienia rozwoju obu tych środków przewozu.

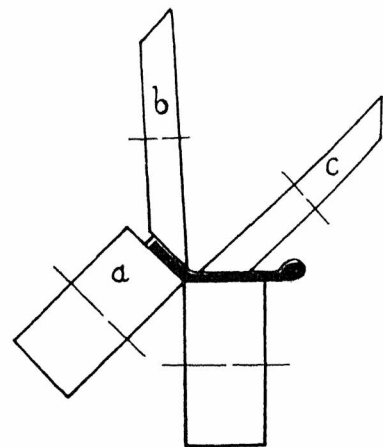
Zadanie jakie stawia sobie program motoryzacji, polega na doprowadzeniu Niemiec w r. 1943 do posiadania takiej ilości samochodów, by 1 samochód przypadał tam na 25 mieszkańców (jak jest dziś we Francji), co będzie odpowiadało ilościanowi 2 600 000 pojazdów; równocześnie produkcja krajowa osiągnąć ma 200 000 podwozi rocznie. Po-



Rys. 2.



Rys. 3.



Rys. 4.

*) Por. Przegl. Mech. 1935 r., zes. 12.

nieważ liczy się, że jeden samochód w ruchu przynosi Skarbowi, bezpośrednio lub pośrednio, ok. 1 000 zł. rocznie, przeto wspomniany rozwój motoryzacji wyrazi się w budżecie Niemiec nową pozycją dochodu 200 milionów zł., a w ciągu 8 lat da ok. 1½ miljarda zł.

Program budowy dróg samochodowych, zlecony urzędowi państwowemu (Reichsautobahn), wydzielonemu z Zarządu Kolei Rzeszy, przewiduje wykonanie sieci dróg betonowych, o szerokości jezdni 15 m, długości 7 800 km. Realizację tego planu rozłożono na 8 lat, koszt zaś obliczono na 7 miliardów zł.

Wspólny zarząd kolejami i drogami samochodowymi umożliwi maksymalne wyzyskanie obu sieci i najlepsze przystosowanie wyposażenia technicznego do obu celów z uwzględnieniem zauważonego objawu: gdy silnik spalinowy wstępuje na szyny, maszyna parowa schodzi na drogę kołową, ostatecznie zastosowanie ma znaczenie ze względu na niezależność kraju od dowozu benzyny. (Techn. Mod. 1935 r., zes. 11, str. 377).

M.

OBRABIARKI

Odginarki kształtowników okrętowych (wręg).

W przemyśle budowy okrętów stosuje się kształtowniki o różnych kątach nachylenia ramion. Żądane kąty uzyskujemy przez odginanie jednego z ramion kształtownika na specjalnych obrabiarkach (odginarkach) trzech typów. Typ najstarszy, angielski: 1) powodował konieczność dodatkowej obróbki wręg, gdyż dawał je z dużymi występami w miejscu odgięcia (rys. 1 a, b, c); 2) zmniejszał wytrzymałość połączeń, bowiem niekiedy stopka była skrzywiona (rys. 1, d),



Rys. 1.

a więc nie przylegała całą swą powierzchnią do blachy, przy nitowaniu; 3) utrudniał odginanie wysokich kształtowników, np. ceowników o wysokości 381 mm (i szerokości stopki tylko 86 mm), gdyż takie kształtowniki można było odginać tylko w położeniu pionowym, co pociągało za sobą konieczność stosowania bardzo wysokiego odginacza, (rys. 2). Konieczność obróbki w położeniu pionowym była również źródłem trudności transportowych, gorącego, wysokiego kształtownika z pieca na odginarkę.

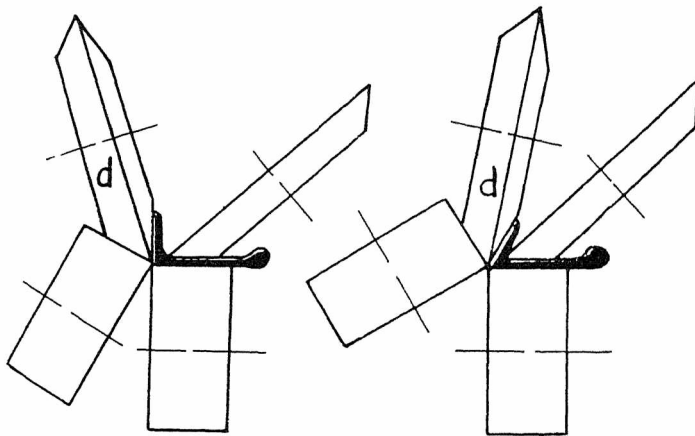
oraz lewy odginacz, osadzone w łożysku pierścieniowym, są nastawne i obracają się naokoło punktu styku dwu ramion kształtownika; dzięki temu odgięcie następuje w punkcie styku tych dwu ramion, a więc występ w tym miejscu zmniejsza się znacznie (rys. 5), jednak zależy od zużycia części roboczych obrabiarki.



Rys. 5.

Celem odginania kształtowników o różnej grubości, a więc celem uzyskania potrzebnego tarcia, odginacze *b* i *c* są odpowiednio nastawiane względem walców. W ten sposób usunięto wadę poprzednio omówionego typu, polegającą na zatrzymywaniu się kształtowników o większych przekrojach (gdwz były one przeciągane tylko między jednym walcem (rys. 2) i prawym odginaczem.

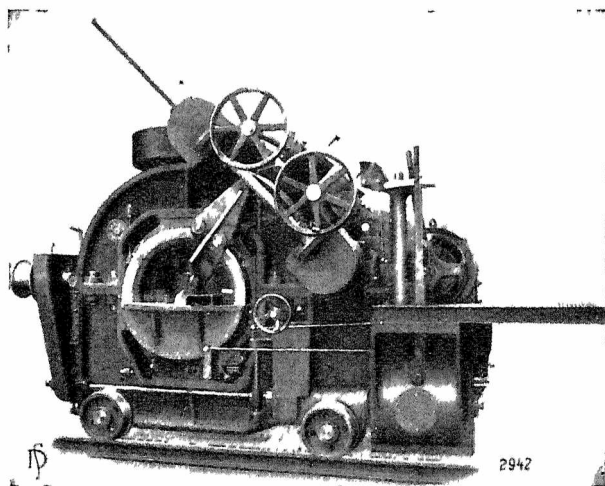
Prócz tego nowszy typ umożliwił obróbkę kształtowników w położeniu poziomym, usuwając przez to radykalnie trudności transportowe z pieca do obrabiarek oraz trudności obróbki kształtowników stojących. Do zwierania (zmniejszania kąta nachylenia ramion kształtownika) należy tutaj używać specjalnych odginaczy (*d*, rys. 6 i 7).



Rys. 6.

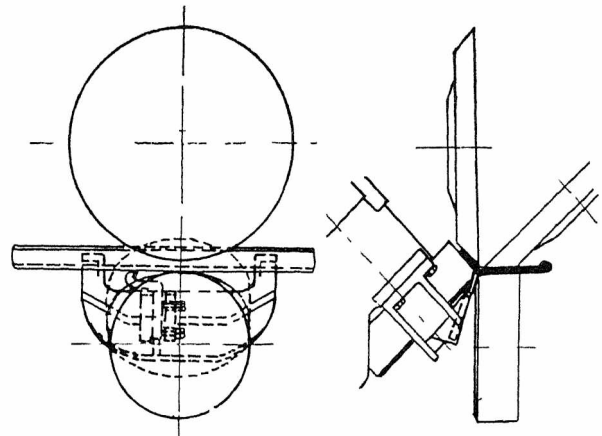
Rys. 7.

W typie najnowszym (rys. 8) zastosowano klin do regulowania położenia łożyska pierścieniowego, dzięki temu umożliwiono usunięcie wpływu zużycia części roboczych na zwiększenie wielkości występu przez wytworzenie odpo-



Rys. 8.

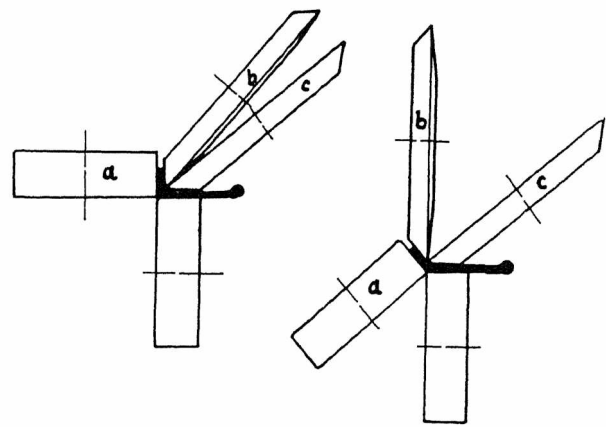
wiedniego docisku między walcami; grubość występu waha się w granicach $0,5 \div 1$ mm, a powierzchnia jego poprzecznego przekroju $2 \div 3$ mm². Celem usunięcia występu zapatrzone odginarkę w nóż (rys. 9), mogący pracować na kształtownikach o temperaturze do 800° C.



Rys. 9.

Szybkość odginania jest b. duża gdyż wynosi ok. 12 m/min i pozwala na odgięcie (oraz następujące po nim zgięcie na dziurkowanej podłodze) belki 18 000 mm po jednorazowym uprzednim jej nagrzanu w piecu.

Zarówno do zwierania, jak i rozwierania, służą te same

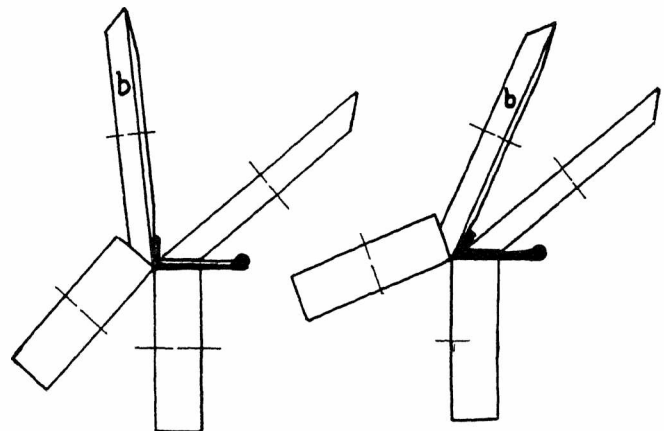


Rys. 10.

Rys. 11.

odginacze (rys. 10, 11 — rozwieranie, rys. 12, 13 — zwieranie); przestawienie odginaczy wymaga 10 ÷ 12 minut.

Do nastawiania części roboczych na żądany kąt odgięcia służy specjalna nastawnica z podziałką; długość już obro-



Rys. 12.

Rys. 13.

bioną odczytujemy na innej podziałce zapomocą czujnika — urządzenie to umożliwia dokładną obróbkę belek o zmiennym odgięciu.

Z lewej strony obrabiarki znajduje się donośnik belek z pieca na obrabiarkę, który może zarazem służyć do ładowania belek do pieca.

Zapomocą jednego silnika elektrycznego, przez przekładnię i sprzęgła, uruchamiamy walce, nastawiamy części robo-

cze na dany kąt odgięcia, uruchamiamy donośnik oraz samą odginarkę na szynach między piecem i dziurkowaną podłogą (gdy należy belkę tylko zgąć, bez uprzedniego jej odgięcia, wtedy odginarkę odsuwamy od pieca, a belkę z pieca przesuwamy na dziurkowaną podłogę zapomocą rolek).

Opisane odginarki są dwu wzorów, o następującej charakterystyce:

W z o r	1 FSW (do odginania wręg dla statków rzecznych)	2 FSW (do odginania wręg dla okrętów)
dla kątowników równoramien- nych	160 × 160 × 16 mm	200 × 200 × 20 mm
dla kątowników nierównora- miennych	200 × 100 × 16 „	200 × 100 × 15 „
dla kątowników łebkowych (rys. 1, a, b, rys. 5)	240 × 90 × 16 „	300 × 95 × 18 „
dla ceowników okrętowych do	—	381 × 107 × 18 „
dla zetowników do	200 × 80 × 13 „	200 × 80 × 13 „
dla ceowników do	240 × 100 × 16 „	300 × 100 × 17 „
Moc silnika, KM	30	40
Ilość obrotów silnika	1 000	1 000

S. K. K.

BIBLIOGRAFJA

Hamulce kolejowe. Inż. M. Zabłocki. Wydawnictwa Techniczne Ministerstwa Komunikacji, Nr. 8, Warszawa, 1935.

Książka powyższa jest pierwszą z nowego, obecnie usystematyzowanego szeregu wydawnictw technicznych Ministerstwa Komunikacji. O tem nowem przedsięwzięciu wydawniczym Ministerstwa Komunikacji pisze Inż. Jan Dybowski w przedmowie do powyższej książki, co następuje:

„Doceniając wielką potrzebę szerzenia wiedzy technicznej wśród pracownikó w, poświęcających się pracy komunikacyjnej, Pan Minister Komunikacji, inżynier Michał Butkiewicz, rozporządzeniem z dn. 12 marca 1934 r., ogłoszonym w Nr. 10 Dziennika Urzędowego Ministerstwa Komunikacji z dnia 24 marca 1934 r. położył trwale podwaliny pod wydawnictwa z zakresu techniki komunikacyjnej, polecając Departamentowi Mechanicznemu i Zastępcom Kolejowych podwładnego Mu Ministerstwa zajęcie się tą sprawą i ustalając jednocześnie wzajemny stosunek pomiędzy Ministerstwem Komunikacji, jako wydawcą i autorami takich podręczników”.

Jakkolwiek już poprzednio Ministerstwo Komunikacji popierało wielokrotnie piśmiennictwo polskie z dziedziny komunikacji, to jednak ujęcie tej działalności w ścisły i trwały system stanowi nową fazę w rozwoju tego piśmiennictwa, zdolną nie tylko pogłębić fachową wiedzę pracowników kolejowych, a tem samem przyczynić się do sprawnej działalności naszych kolei, lecz także postawić i utrzymać nasz udział w międzynarodowej współpracy na polu wiedzy kolejowej na należyty m poziomie.

T R E Ś Ć:

Nowe prądy w zakresie cemetacji żelaza azotem, nap. Dr. Inż. I. Feszczenko-Czopiński.

Przyczynki do badań azotowania stali specjalnych, nap. Inż. K. Kornfeld.

Analiza mocy parowozów Ty 23 PKP i sposoby jej zwiększenia do 3000 KM bez znacznych zmian konstrukcji, nap. Inż. J. Madeyski.

Organizacja gospodarki narzędziowej (dok.), nap. Inż. J. Tichy.

Dział normalizacyjny.

Przegląd czasopism technicznych.

Bibliografia.

S O M M A I R E:

Nouvelles tendances dans la nitruration de l'acier, par M. I. Feszczenko-Czopiński, Dr. ès sc. techn.

Contribution à l'étude de la nitruration des aciers spéciaux, par M. K. Kornfeld, Ingénieur métallurgiste.

Moyens d'accroissement de la puissance des locomotives type Ty 23 des Chemins de Fer d'Etat Polonais jusqu'à 3000 CV sans grands changements de leur construction, par M. J. Madeyski Ingénieur mécanicien.

L'organisation de la gestion des outils pour le travail des métaux (suite et fin), par M. J. Tichy, Ingénieur mécanicien.

Les normes polonaises.
Revue documentaire.
Bibliographie.

„Przegląd Mechaniczny” wychodzi 2 razy mies. Przedpłata w kraju (z przesyłką): kwart. zł. 10, półr. zł. 20, roczna zł. 40, zagr. (z przesyłką) zł. 60 rocznie. Ceny ogłoszeń podaje Administracja na ządanie.

Wydawca: STOW. INŻ. MECH. POLSKICH
Redaktor odp. Inż. CZESŁAW MIKULSKI, SIMP

Adres Administracji: Warszawa, ul. Czackiego 3 (gmach Stow. Techn.) m. 22, telefon 281-85
Redakcja: (Czackiego 3/5 m. 22) otwarta w piątki od godz. 19-ej do 20-ej (telefon 244-78)

Sp. Akc. Zakł. Graf. „Drukarnia Polska”, Warszawa, Szpitalna 12, telefony: 272-06, 587-98, w dzierzawie Spółki Wydawniczej Czasopism, Sp. z o. o.